

Lecture 12 – 二极管电路 part1

Chapter3 from **Microelectronic
Circuits Text**

by Sedra and Smith

Oxford Publishing

课程纲要

- 7.1 二极管的结构和工作原理
 - 7.1.1 本征半导体、掺杂半导体、PN结基本概念
 - 7.1.2 二极管结构及其伏安特性
 - 7.1.3 二极管电路模型（包括简化、恒压降和小信号模型）
 - 7.1.4 齐纳二极管伏安特性、主要参数及其应用电路
- 7.2 二极管应用电路的分析
 - 7.2.1 整流电路（包括半波、全波和桥式）
 - 7.2.2 限幅和钳位电路
 - 7.2.3 电压倍增电路
 - 7.2.4 逻辑门

Semiconductor Physics

半导体物理

Semiconductors

- **Charge Carriers** 载流子
- **Doping** 掺杂
- **Transport of Carriers**
载流子的运动

Part 1: 半导体基础

PN Junction PN结

- **Structure** 结构
- **Reverse and Forward Bias Conditions** 反向和正向偏置
- **I/V Characteristics** I/V特性
- **Circuit Models** 电路模型

Part 2: PN结 (二极管器件的物理基础)

- 半导体器件是微电子的核心;
- PN结(PN junction)是最基本的半导体器件

Charge Carriers in Semiconductor

半导体中的载流子

Part 1: 半导体基础

Charge Carriers in Solids

晶体结构

带隙

空穴

- Crystal Structure
- Bandgap Energy
- Holes



Modification of Carrier Densities

本征半导体

掺杂半导体

- Intrinsic Semiconductors
- Extrinsic Semiconductors
- Doping 掺杂



Transport of Carriers

扩散

漂移

- Diffusion
- Drift

- 对电路设计者而言，最重要的是掌握PN结的I/V特性，以及表征这一特性的等效电路模型
- 为了更好地理解I/V特性，我们需要先介绍半导体物理的一些基本概念：电子空穴对、掺杂、载流子密度、漂移电流、扩散电流等

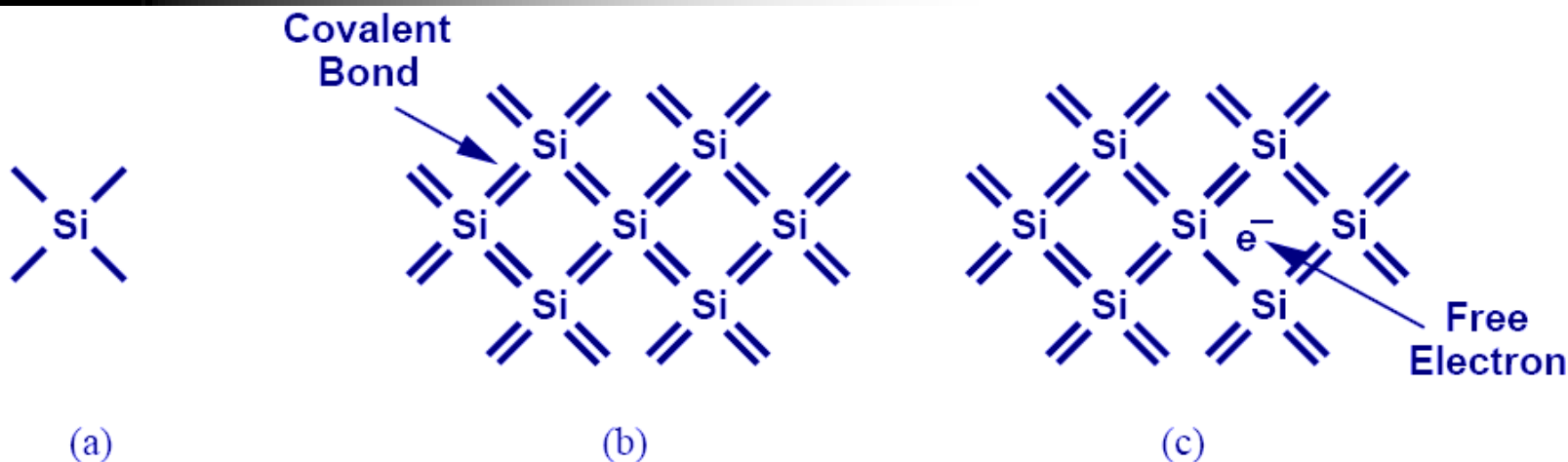
Periodic Table 元素周期表

	III	IV	V	
	Boron (B)	Carbon (C)		
• • •	Aluminum (Al)	Silicon (Si)	Phosphorous (P)	• • •
	Gallium (Al)	Germanium (Ge)	Arsenic (As)	
		• • •		

- 半导体有单一元素半导体(Si, Ge)、化合物半导体(GaAs)之分，本课程主要针对 Si 单一元素半导体

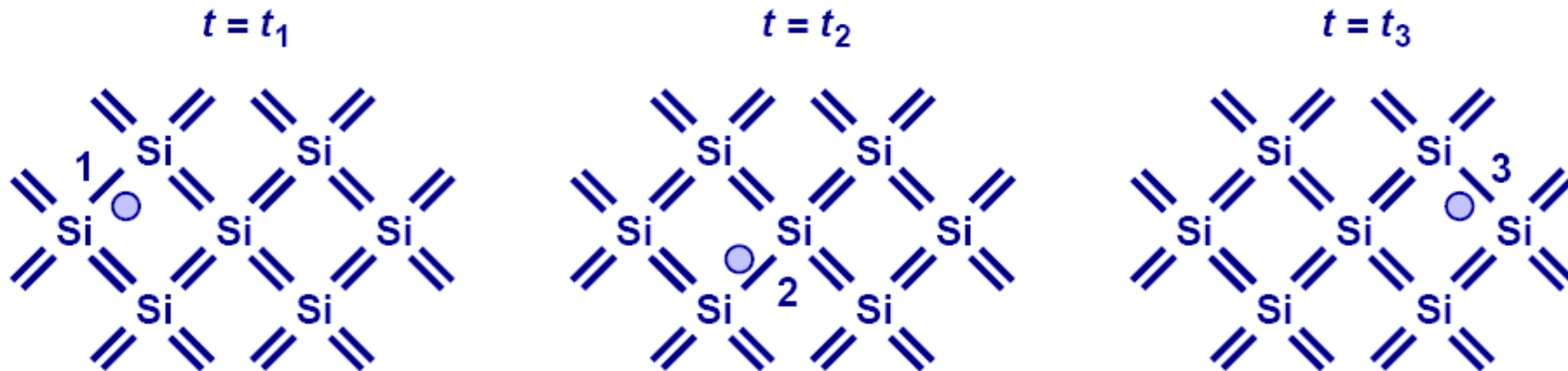
Silicon本征硅：由纯Si构成的晶体，无杂质

本征：就是没有杂质的意思



- Si有4个价电子，因此，需要与周围的4个Si原子共享电子，形成共价键；
- 绝对温度为0度时，所有共价键都是完整的，没有自由电子 → 不能导电
- 当温度升高到室温时，由于热能的作用，部分共价键被打断，形成自由电子 → 自由电子在电场作用下形成定向运动，也即可以导电，因此自由电子被称为“载流子”

Electron-Hole Pair Interaction 电子空穴对



- 打断共价键，形成自由电子的同时，会在原先共价键的位置留下一个“**空穴**”；
- 空穴会被邻近的自由电子填充，如图所示，空穴被邻近电子填充的过程也可以看作空穴的运动，因此空穴也被称为“载流子”（半导体中的空穴可类比与水中的气泡）
- 于是，我们有了**两类载流子**：①**自由电子**、②**空穴**；本征硅中，自由电子的数量（或浓度）=空穴的数量（或浓度）
- 而**空穴**带正电(**p**ositive)，所以用**p**表示

自由电子、空穴浓度的计算

本征硅中电子与空穴的浓度，单位 $\#/cm^3$

$$n = p = n_i$$

1. $n = p$ ，因为每打断一个共价键，就产生一个自由电子和一个空穴
2. i 表示本征半导体 (intrinsic)

$$n_i = BT^{3/2} e^{-E_g/2kT}$$

$$= 1.5 \times 10^{10} \text{ carriers/cm}^3$$

1. 常温下，只有极少数的共价键被打断，形成“电子-空穴”对
2. 温度 T 对载流子浓度的影响很大

for $T=300\text{ K}$

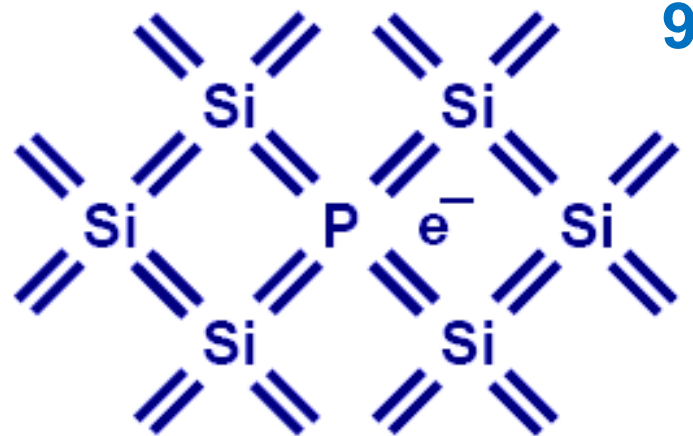
where B is a material-dependent parameter that is $7.3 \times 10^{15} \text{ cm}^{-3} \text{ K}^{-3/2}$ for silicon; T is the temperature in K ; E_g , a parameter known as the **bandgap energy**, is 1.12 electron volt (eV) for silicon²; and k is Boltzmann's constant ($8.62 \times 10^{-5} \text{ eV/K}$). It is interesting to know that the bandgap energy E_g is the minimum energy required to break a covalent bond and thus generate an electron-hole pair.

Si的原子密度

$$5 \times 10^{22} \text{ atoms/cm}^3$$

- 显然，温度升高，本征Si中自由电子和空穴的数量增加
- 打断一个共价键，形成一对自由电子-空穴对需克服一定的能量，该能量被称为Si的**带隙**(E_g , Bandgap, 1.12 eV for Si)
- 本征Si中自由电子（空穴）的数量与 E_g **指数**相关

Doping (n type) n型掺杂

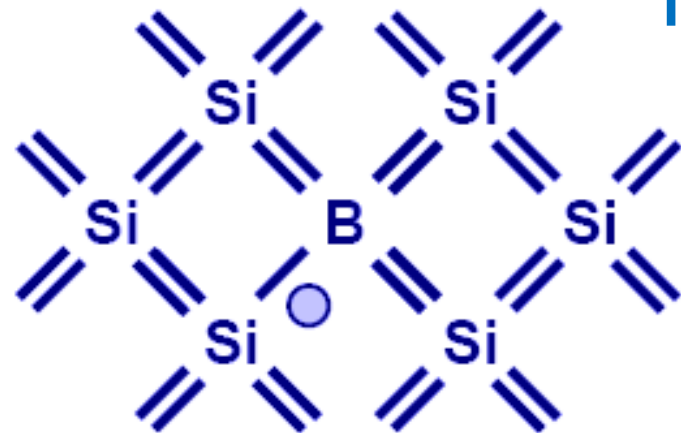


9

- 在本征硅(纯Si)中掺入一个5价的磷(P)原子，则会贡献出一个多余的自由电子，掺入 N_D 个P原子，则会贡献出 N_D 个自由电子；P原子施舍了电子，所以被称为施主(Donor)
- 因为电子带负电(negative)，所以用n表示，即n型掺杂；
- 实际 N_D 表示每立方厘米掺入的P原子数，所以 N_D 称为掺杂浓度；
- 实际 $N_D \gg n_i$ ，因此n型掺杂半导体中的主要载流子为自由电子，且自由电子浓度(n)主要又 N_D 决定， $n \approx N_D$
- 空穴浓度(p)呢？小于 n_i ，因为大量的自由电子存在，使得空穴被自由电子复合的几率大大增加。
- 但是：

$$np = n_i^2$$

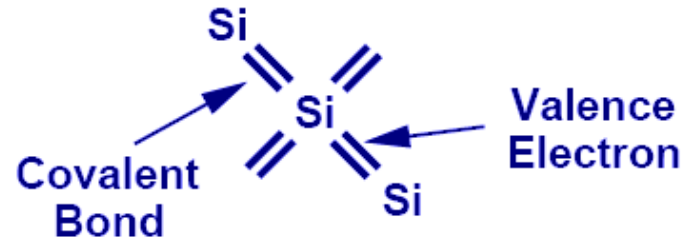
Doping (p type) p型掺杂



- 在本征硅(纯Si)中掺入一个3价的硼 (B) 原子，则会贡献出一个多余的空穴，掺入 N_A 个B原子，则会贡献出 N_A 个空穴；B原子用来接受自由电子，所以被称为受主(Acceptor)
- 因为空穴带正电(positive)，所以用p表示，即p型掺杂；
- 实际 N_A 表示每立方厘米掺入的B原子数，所以 N_A 称为掺杂浓度；
- 实际 $N_A \gg n_i$ ，因此p型掺杂半导体中的主要载流子为空穴，且空穴浓度(p)主要又 N_A 决定， $p \approx N_A$
- 自由电子浓度(n)呢？小于 n_i ，因为大量的空穴的存在，使得自由电子被空穴复合的几率大大增加。
- 但是，同样有： $np = n_i^2$

Summary of Charge Carriers

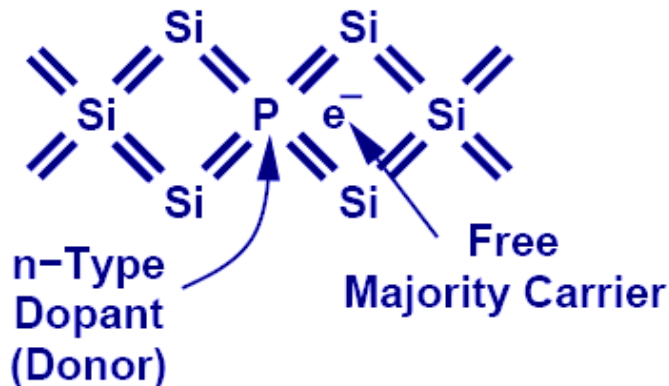
Intrinsic Semiconductor



Extrinsic Semiconductor

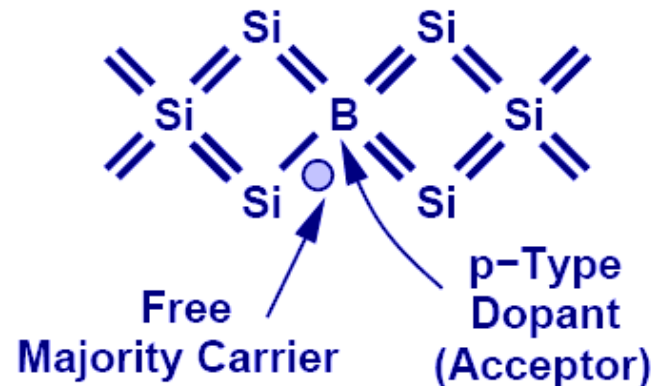
n型半导体
施主

Silicon Crystal
 N_D Donors/cm³



p型半导体
受主

Silicon Crystal
 N_A Acceptors/cm³



自由电子和空穴的浓度

p型, Majority Carriers :	$p \approx N_A$
p型, Minority Carriers :	$n \approx \frac{n_i^2}{N_A}$
n型, Majority Carriers :	$n \approx N_D$
n型, Minority Carriers :	$p \approx \frac{n_i^2}{N_D}$

- $np = n_i^2$ 关系式始终成立，不管何种掺杂，何种程度的掺杂
- n型半导体中，主要载流子（也称为“多子”）为电子，其浓度 $n \approx N_D$ ；少数载流子（“少子”）为空穴，
- p型半导体中，多子为空穴，其浓度 $p \approx N_A$ ，少子为电子

It should be emphasized that a piece of *n*-type or *p*-type silicon is electrically neutral; the charge of the majority free carriers (electrons in the *n*-type and holes in the *p*-type silicon) are neutralized by the bound charges associated with the impurity atoms.

Example 3.2

Consider an n -type silicon for which the dopant concentration $N_D = 10^{17}/\text{cm}^3$. Find the electron and hole concentrations at $T = 300$ K.

① N_D 表示 n 型掺杂

Solution

The concentration of the majority electrons is

② 电子浓度 = 掺杂浓度 $n_n \simeq N_D = 10^{17}/\text{cm}^3$ 下标 n 表示 n 型半导体

The concentration of the minority holes is

③ 少子 (空穴) 浓度用恒等式 $p_n \simeq \frac{n_i^2}{N_D}$
 $n p = n_i^2$ 计算

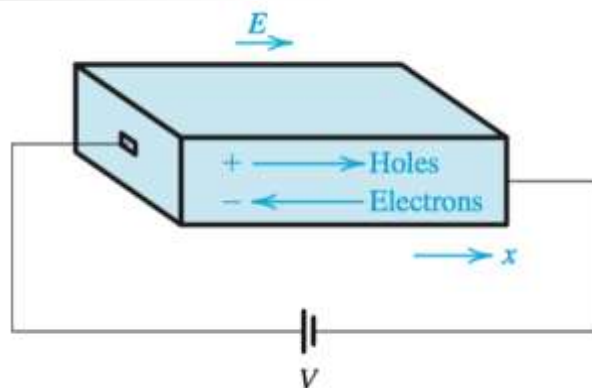
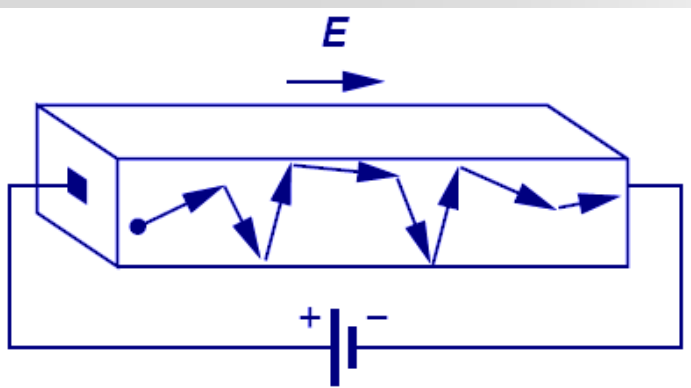
In Example 3.1 we found that at $T = 300$ K, $n_i = 1.5 \times 10^{10}/\text{cm}^3$. Thus,

$$\begin{aligned} p_n &= \frac{(1.5 \times 10^{10})^2}{10^{17}} \\ &= 2.25 \times 10^3/\text{cm}^3 \end{aligned}$$

Observe that $n_n \gg n_i$ and that n_n is vastly higher than p_n .

漂移电流

迁移率

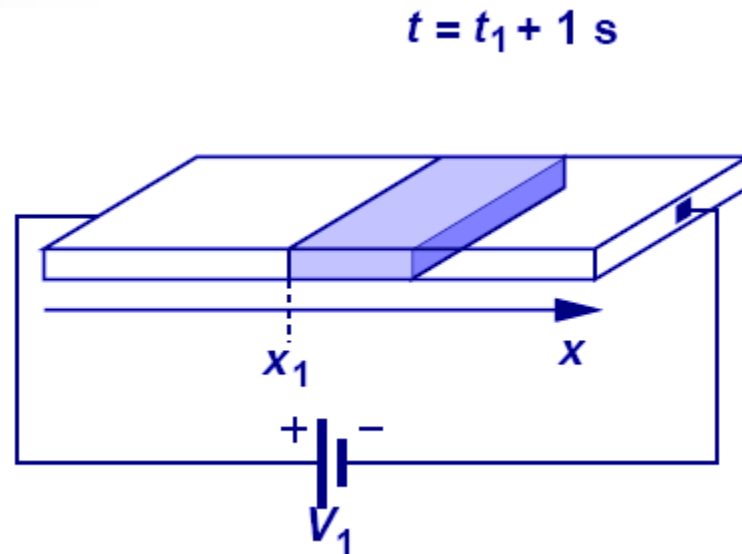
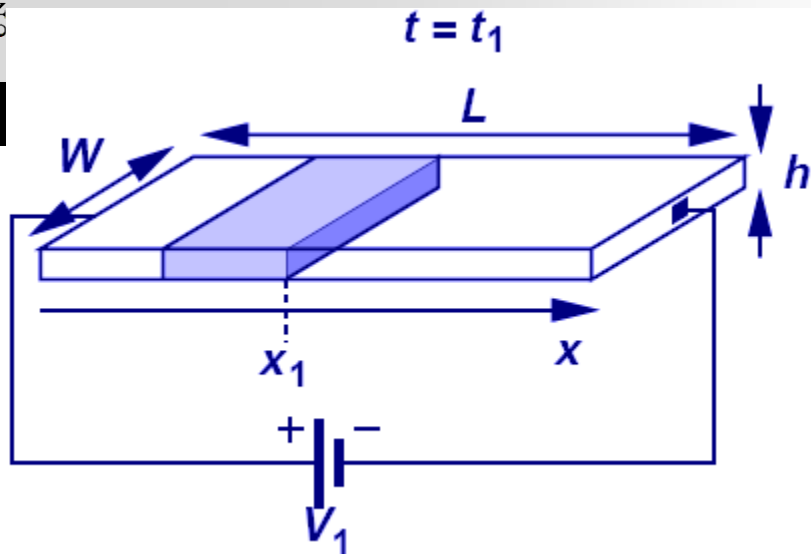


$$\vec{v}_h = \mu_p \vec{E}$$

$$\vec{v}_e = -\mu_n \vec{E}$$

- 漂移：电场引起的载流子运动
- 载流子的运动速度正比于电场强度，该比例系数称为载流子的迁移率；
- 电子的迁移率 $1350 \text{ cm}^2/(\text{V}\cdot\text{s}) > \text{空穴迁移率 } 480 \text{ cm}^2/(\text{V}\cdot\text{s})$ ，因为空穴的移动实际上是电子补位邻近空穴的过程（release-trap），移动性没有电子高
- 掺杂会降低载流子迁移率

Current Flow: General Case 电荷移动产生电流



- 电流 I 计算：单位时间内流过的电荷
- 电流 J 密度：单位截面积内的电流

$$I_p = Aqp v_{p\text{-drift}} \quad \xrightarrow{v_{p\text{-drift}} = \mu_p E} \quad J_p = \frac{I_p}{A} = qp\mu_p E$$

$$I_n = -Aqn v_{n\text{-drift}} \quad \xrightarrow{v_{n\text{-drift}} = -\mu_n E} \quad J_n = qn\mu_n E$$

1. 图示为空穴，电子类似
2. 观察 x_1 处的截面，一秒时间后，蓝色区域的电荷流过了截面（左图 \rightarrow 右图）
3. 蓝色区域的体积： $vWh = vA$
4. 蓝色区域的载流子数量： vAp
5. 蓝色区域的电荷量： $vApq$

Current Flow: Drift

总电流密度 = 空穴电流密度 + 电子电流密度

即半导体电阻可调

$$J = J_p + J_n = q(p\mu_p + n\mu_n)E$$

$$\sigma = q(p\mu_p + n\mu_n)$$

电导率

$$J = \sigma E$$

欧姆定律

电流密度和电场

$$\rho \equiv \frac{1}{\sigma} = \frac{1}{q(p\mu_p + n\mu_n)}$$

电阻率

载流子为空穴

Find the resistivity of (a) intrinsic silicon and (b) p -type silicon with $N_A = 10^{16}/\text{cm}^3$. Use $n_i = 1.5 \times 10^{10}/\text{cm}^3$, and assume that for intrinsic silicon $\mu_n = 1350 \text{ cm}^2/\text{V} \cdot \text{s}$ and $\mu_p = 480 \text{ cm}^2/\text{V} \cdot \text{s}$, and for the doped silicon $\mu_n = 1110 \text{ cm}^2/\text{V} \cdot \text{s}$ and $\mu_p = 400 \text{ cm}^2/\text{V} \cdot \text{s}$. (Note that doping results in reduced carrier mobilities).

本征硅:

$$\rho = \frac{1}{q(p\mu_p + n\mu_n)} = 2.28 \times 10^5 \Omega \cdot \text{cm}$$

p型硅:

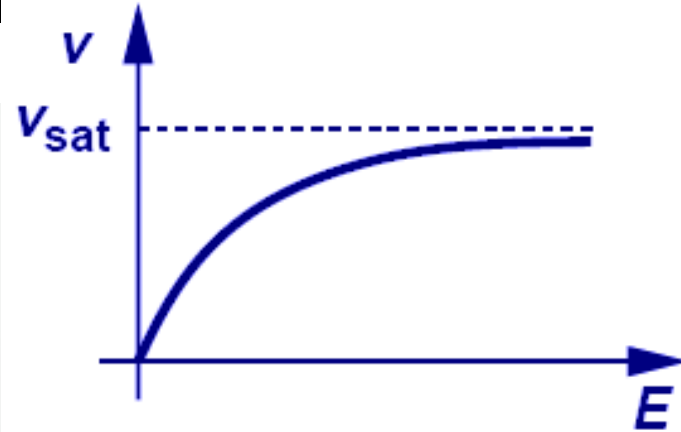
$$p_p \simeq N_A = 10^{16}/\text{cm}^3$$

$$n_p \simeq \frac{n_i^2}{N_A} = \frac{(1.5 \times 10^{10})^2}{10^{16}} = 2.25 \times 10^4/\text{cm}^3$$

掺杂半导体电阻率显著降低

$$\rho = \frac{1}{q(p\mu_p + n\mu_n)} = 1.56 \Omega \cdot \text{cm}$$

Velocity Saturation



$$\mu = \frac{\mu_0}{1 + bE}$$

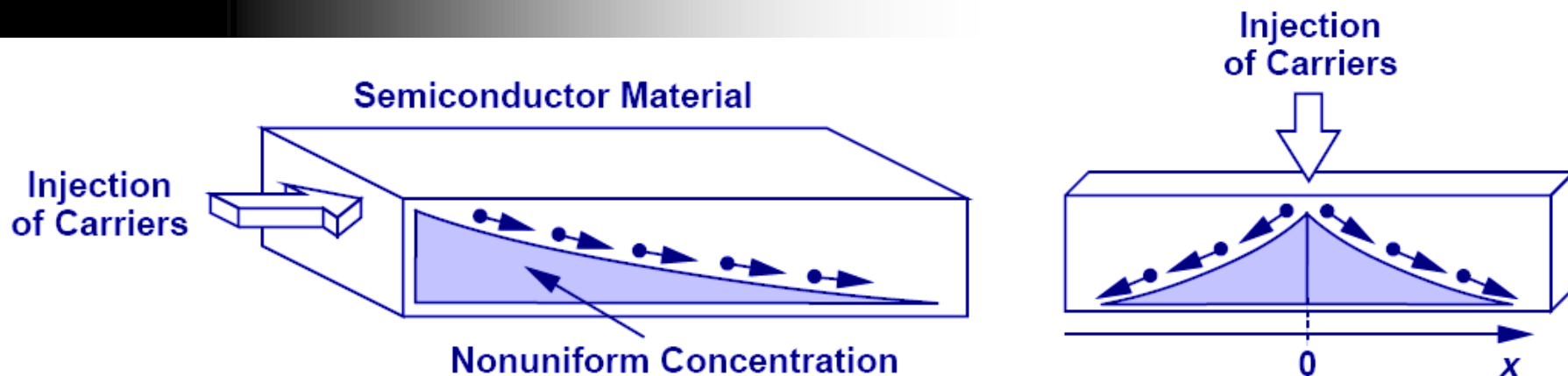
$$v_{sat} = \frac{\mu_0}{b}$$

$$v = \frac{\mu_0}{1 + \frac{\mu_0 E}{v_{sat}}} E$$

- 当电场比较大时，载流子的运动速度会趋于饱和

知道此结论即可，公式不管

扩散电流



不断注入电子，电子浓度会慢慢衰减

- **扩散**：载流子从高浓度的地方向低浓度的地方扩散
- 与一滴墨水滴到一瓶纯净水中扩散的情形类似；

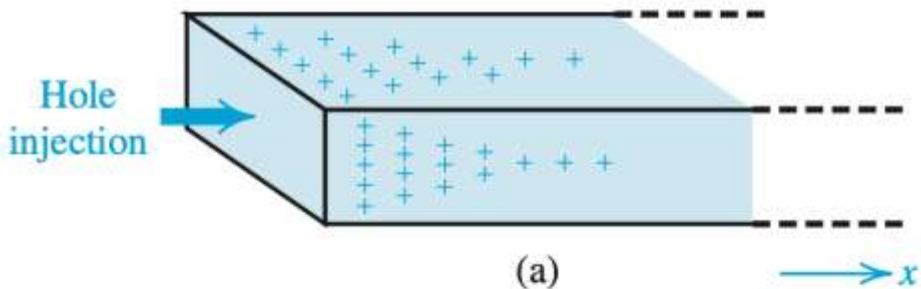
扩散电流

$$J_{tot} = q(D_n \frac{dn}{dx} - D_p \frac{dp}{dx})$$

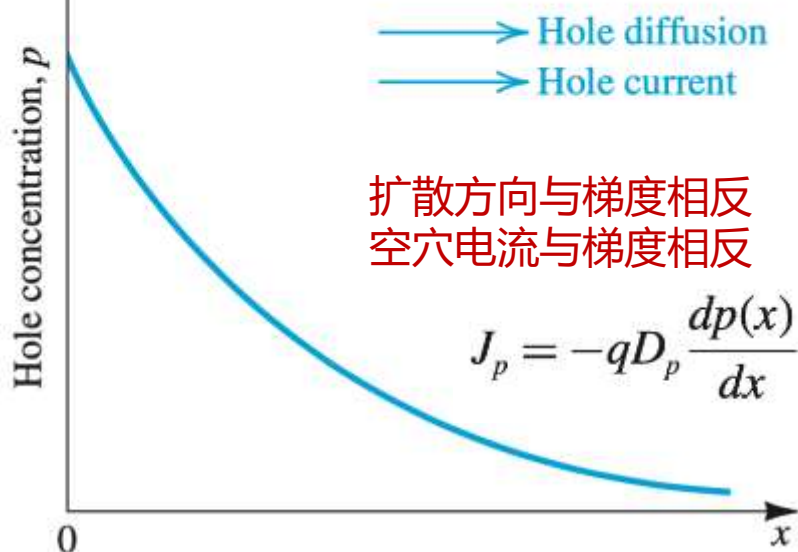
整个扩散为两个扩散相加

扩散系数

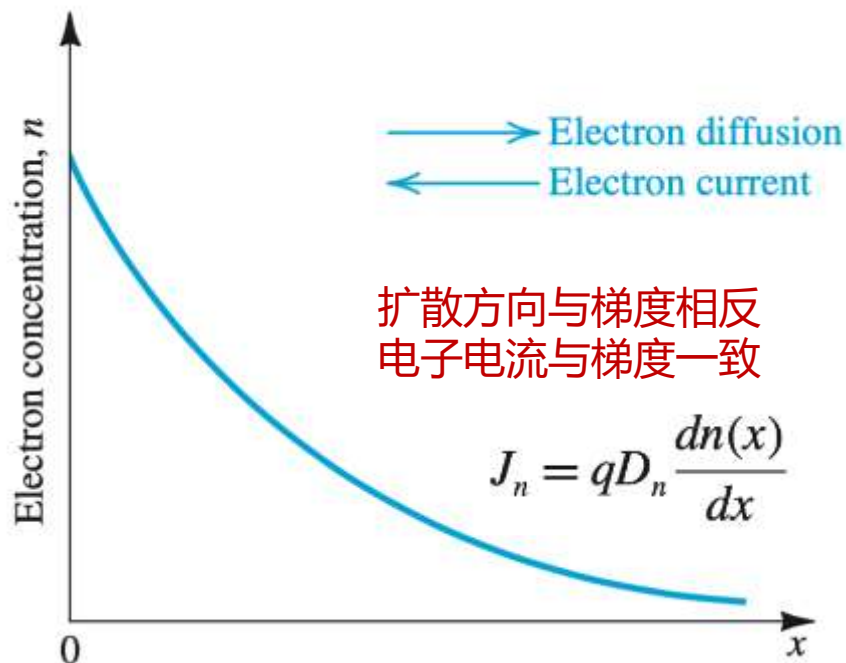
共有四个电流（电子漂移电流、空穴漂移电流、电子扩散电流、空穴扩散电流）中，只有空穴扩散电流的表达式含有负号



空穴浓度逐渐变小，扩散电流的大小与浓度分布梯度相关

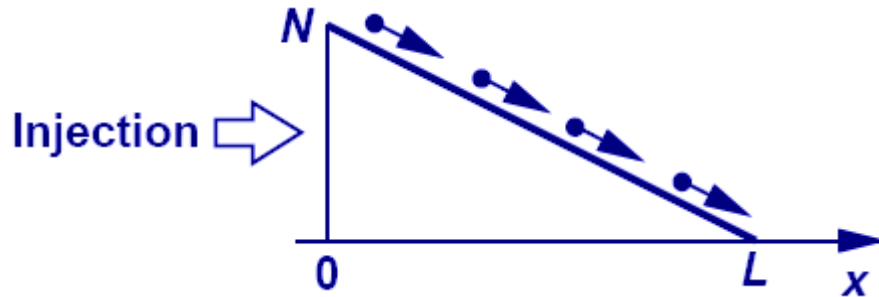


(b)

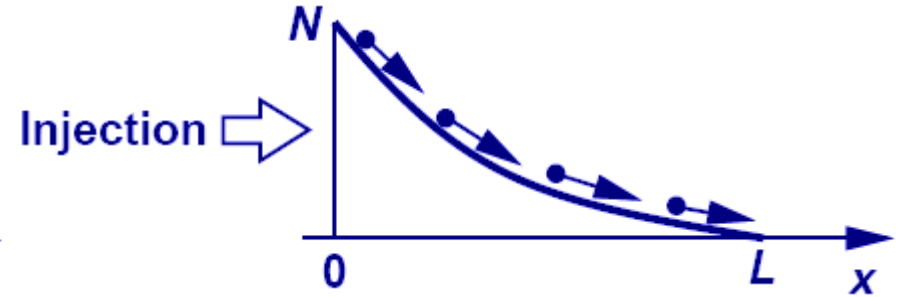


Example: Linear vs. Nonlinear Charge Density Profile

这是两个典型曲线



浓度线性变化



浓度指数变化

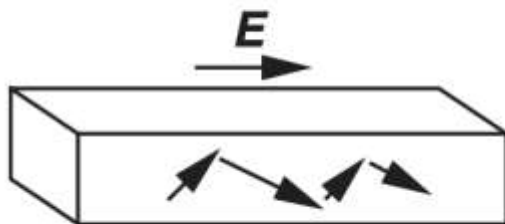
$$J_n = qD_n \frac{dn}{dx} = -qD_n \cdot \frac{N}{L}$$

$$J_n = qD \frac{dn}{dx} = \frac{-qD_n N}{L_d} \exp \frac{-x}{L_d}$$

- 载流子浓度为线性变化 → 扩散电流密度为常数；
- 载流子浓度为指数变化 → 扩散电流密度也为指数函数

Einstein's Relation 爱因斯坦关系

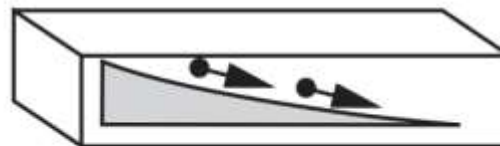
Drift Current



$$J_n = q n \mu_n E$$

$$J_p = q p \mu_p E$$

Diffusion Current



$$J_n = q D_n \frac{dn}{dx}$$

$$J_p = -q D_p \frac{dp}{dx}$$

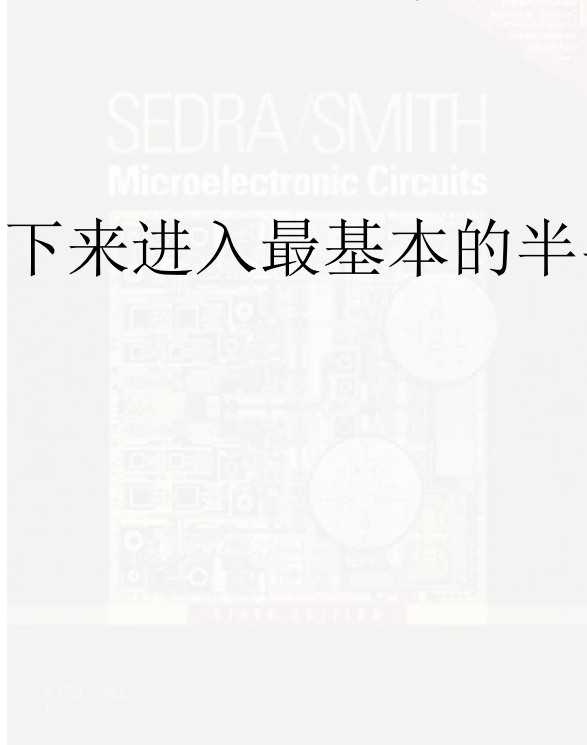
浓度不同会扩散，电场也会有漂移。两者看似没什么关系，但其实却有关联

$$\frac{D}{\mu} = \frac{kT}{q} = V_T \approx 26\text{mV}@300\text{K}$$

300K时，电压为26mV。
室温22度算出电压为25mV

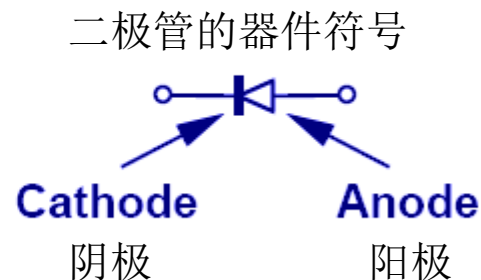
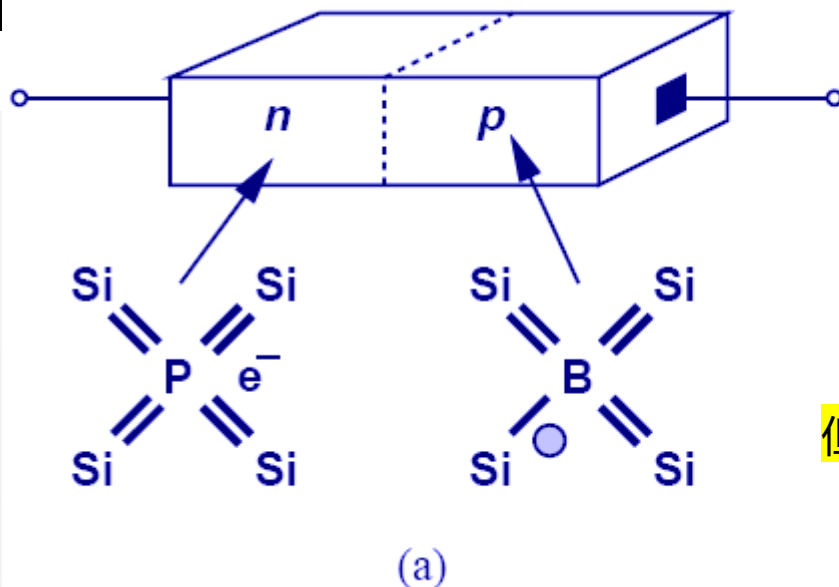
- 虽然载流子漂移和扩散的机制完全不同，但它们的系数却线性相关；
- 知其一，可求另一；
- 室温下， $V_T=26\text{ mV}$ 需熟记

- 半导体物理的基本概念已介绍完毕
- 接下来进入最基本的半导体器件——PN结的介绍



PN Junction (Diode) PN结(二极管)

电流只能阳到阴



单个n和p等于可调节电阻

但掺杂在一起后会形成PN结，有特殊属性

- 将n型半导体和p型半导体放在一起（实际上是同一Si片上进行不同的掺杂），就形成了PN结，PN结也称为**二极管**。

Diode's Three Operation Regions

PN放一起会有单向导电性，下分析为何

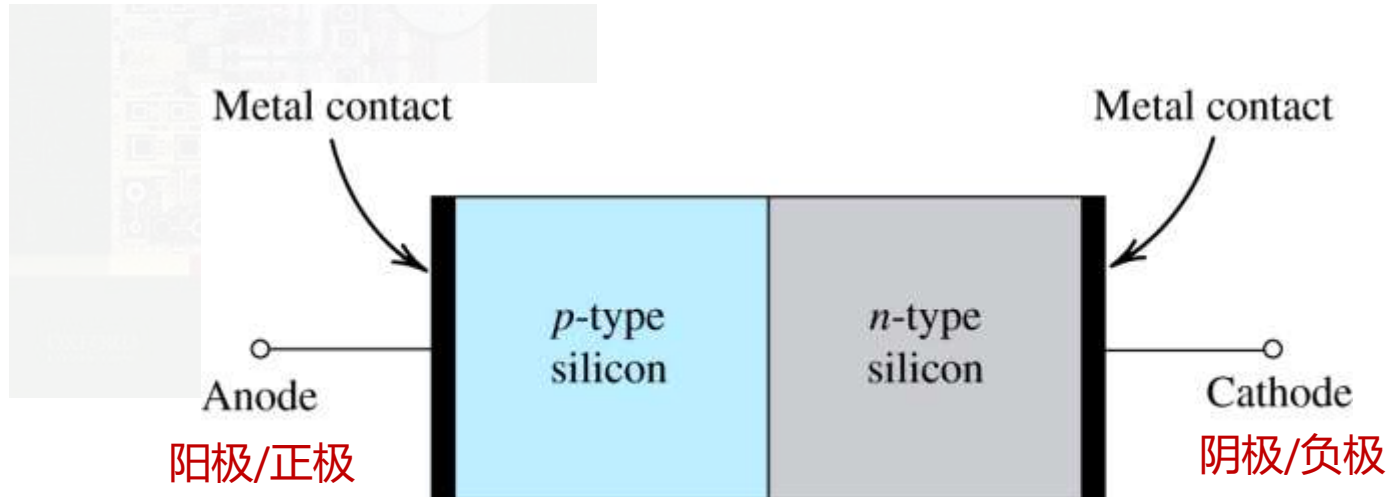
Part 2: PN结 (二极管器件的物理基础)



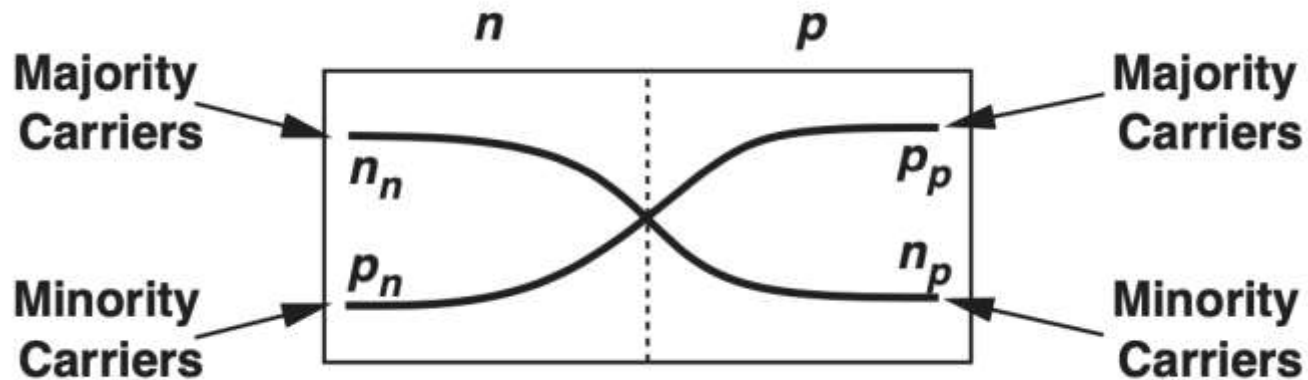
- 为了理解二极管的工作原理，需要对二极管的三个工作状态（区域）分别进行研究：①**热平衡状态**（无外加电压），②**反向偏置**（电压正极加在n侧），③**正向偏置**（电压正极加在p侧）

3.4.1. 物理结构

- ***pn junction*** structure
 - *p*-type semiconductor
 - *n*-type semiconductor
 - metal contact for connection



热平衡（无外加电压）时



n_n : Concentration of electrons on n side

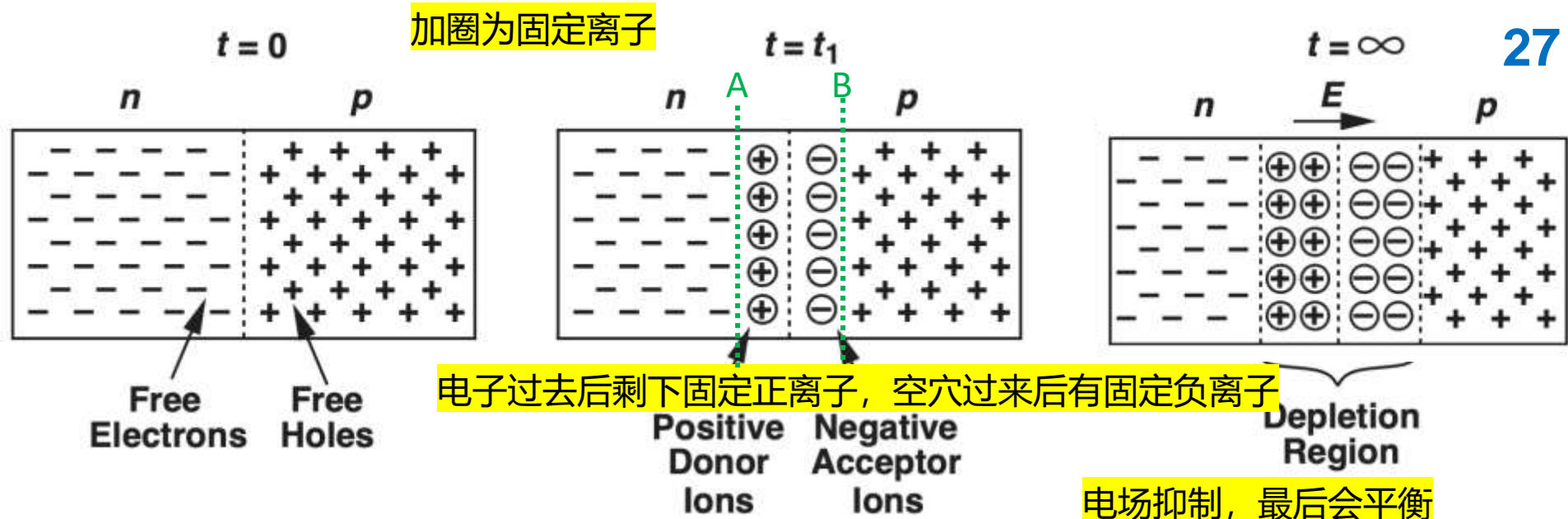
p_n : Concentration of holes on n side

p_p : Concentration of holes on p side

n_p : Concentration of electrons on p side

SEDRA
Microelect

- 掺杂半导体中有四类带电粒子：
 - 电子（自由移动）、空穴（自由移动）、完全离化的施主离子 P^+ （固定不动）、完全离化的受主离子 B^- （固定不动）
- p 型半导体的多子为空穴；
 - $p=N_A \rightarrow$ 空穴的数量与带负电的固定 B^- 离子数量相等（少子电子的数量可忽略），整体保持电中性；
- n 型半导体的多子为电子；
 - $n=N_D \rightarrow$ 电子的数量与带正电的固定 P^+ 离子数量相等（少子空穴的数量可忽略），整体保持电中性；



- 原本n和p都是电中性的，中性区域的固定离子在图中没有画出来；
- ① n区域电子浓度较高，p区域空穴浓度较高 → $t=0+$ 时刻，电子向右边扩散，空穴向左边扩散；
- ② $t=t_1$ 时刻，扩散后，n区域靠近边界处暴露出带正电的固定离子，p区域靠近边界处暴露出带负电的离子，正负离子形成电场，电场阻碍扩散运动，同时电场产生漂移电流（将n侧的少数空穴扫到p侧），方向与扩散电流方向相反，漂移电流大小与边界A处的少数浓度 p_n （B处的少数浓度 n_p ）有关，与电场大小无关；**【到达边界A（B）处的少数p（n）迅速被电场扫走】**
- ③ 随着扩散继续，暴露出的正负离子增加，导致电场增加，最终扩散电流与漂移电流平衡，暴露出离子的区域（耗尽区）宽度不再增加，达到平衡；
- ④ 耗尽区宽度、电场（电势差）可计算，由p侧和n侧的浓度所决定 耗尽区指只

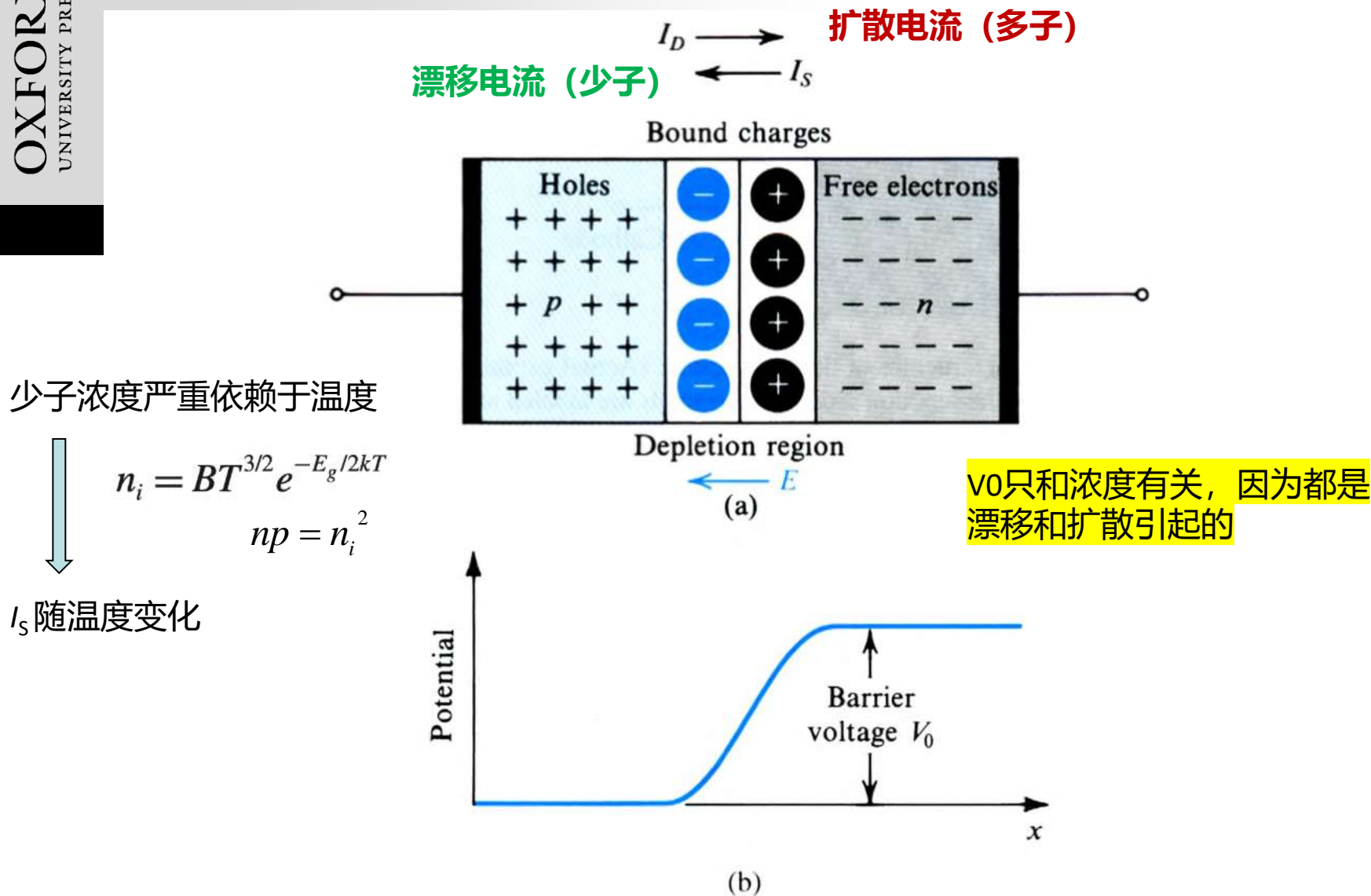


Figure 3.9 (a) The pn junction with no applied voltage (open-circuited terminals). (b) The potential distribution along an axis perpendicular to the junction.

**Example
2.12**

In the junction shown in Fig. 2.21, the depletion region has a width of b on the n side and a on the p side. Sketch the electric field as a function of x .

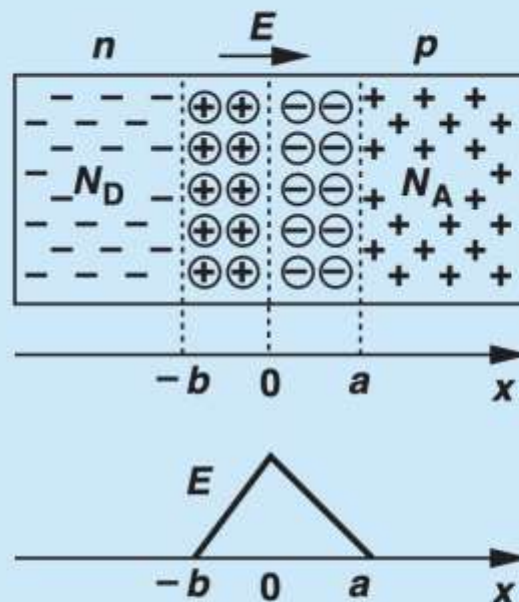


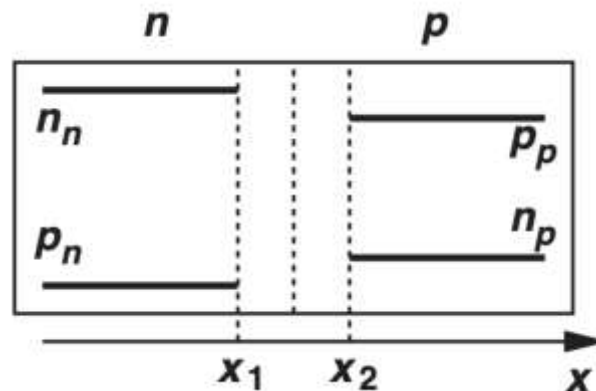
Figure 2.21 Electric field profile in a pn junction.

Solution Beginning at $x < -b$, we note that the absence of net charge yields $E = 0$. At $x > -b$, each positive donor ion contributes to the electric field, i.e., the magnitude of E rises as x approaches zero. As we pass $x = 0$, the negative acceptor atoms begin to contribute negatively to the field, i.e., E falls. At $x = a$, the negative and positive charge exactly cancel each other and $E = 0$.

因为乘积等于常数，所以图像
有此分布

内建电势计算

30



- 平衡时，**漂移电流 = 扩散电流** $|I_{\text{drift},p}| = |I_{\text{diff},p}|$ $|I_{\text{drift},n}| = |I_{\text{diff},n}|$

$$q\mu_p p E = qD_p \frac{dp}{dx}$$

$$E = -dV/dx$$

$$\left. \begin{aligned} q\mu_p p E &= qD_p \frac{dp}{dx} \\ E &= -dV/dx \end{aligned} \right\} \Rightarrow -\mu_p p \frac{dV}{dx} = D_p \frac{dp}{dx} \Rightarrow -\mu_p \int_{x_1}^{x_2} dV = D_p \int_{p_n}^{p_p} \frac{dp}{p}$$

$$\Rightarrow V(x_2) - V(x_1) = -\frac{D_p}{\mu_p} \ln \frac{p_p}{p_n}$$

$$\left. \begin{aligned} V(x_2) - V(x_1) &= -\frac{D_p}{\mu_p} \ln \frac{p_p}{p_n} \\ \frac{D}{\mu} &= \frac{kT}{q} \end{aligned} \right\} |V_0| = \frac{kT}{q} \ln \frac{p_p}{p_n}$$

内建电势与载流子的
浓度差有关（p区空穴
浓度/n区空穴浓度）
浓度相差越大→内建
电势越大

$$\Rightarrow V_0 = \frac{kT}{q} \ln \frac{N_A N_D}{n_i^2}$$

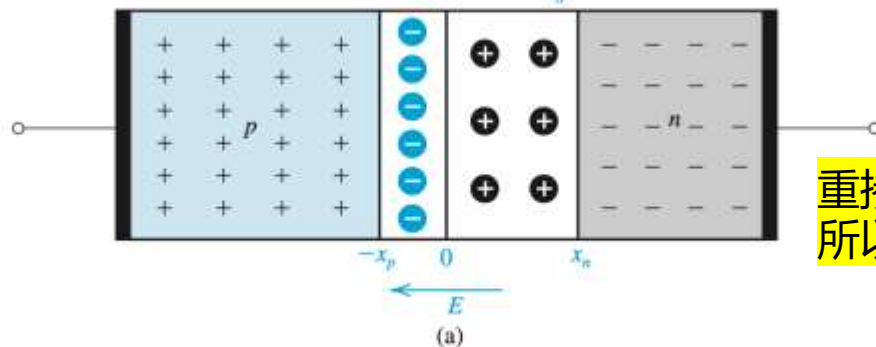
前面是25mV，电势只和两
侧浓度和温度有关

p侧重掺杂；n侧轻掺杂

I_D : 扩散电流

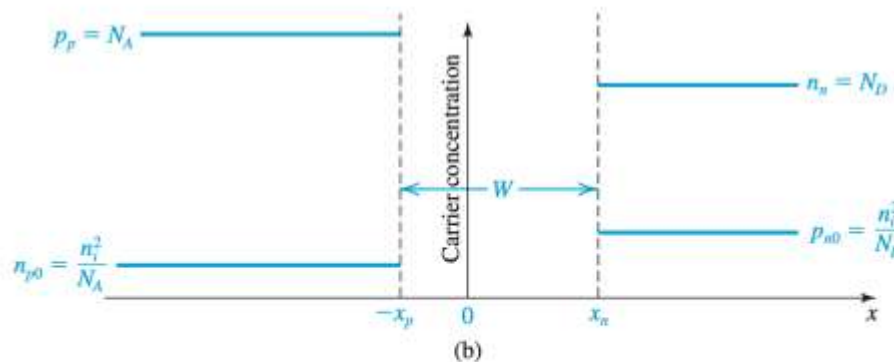
I_S : 漂移电流

31

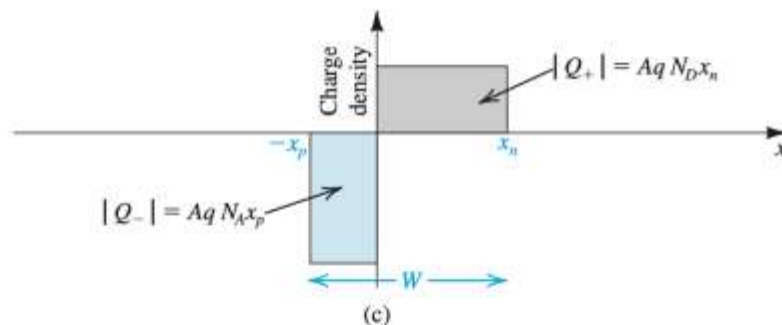


重掺杂固定离子
所以也窄

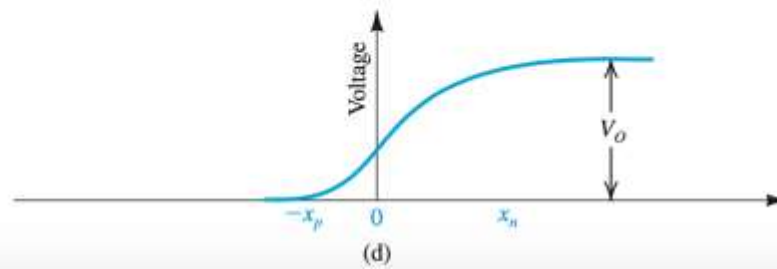
p侧耗尽区窄；n侧耗尽区宽



p侧耗尽区电荷 = n侧耗尽区电荷



电势，耗尽区变化，中性区不变



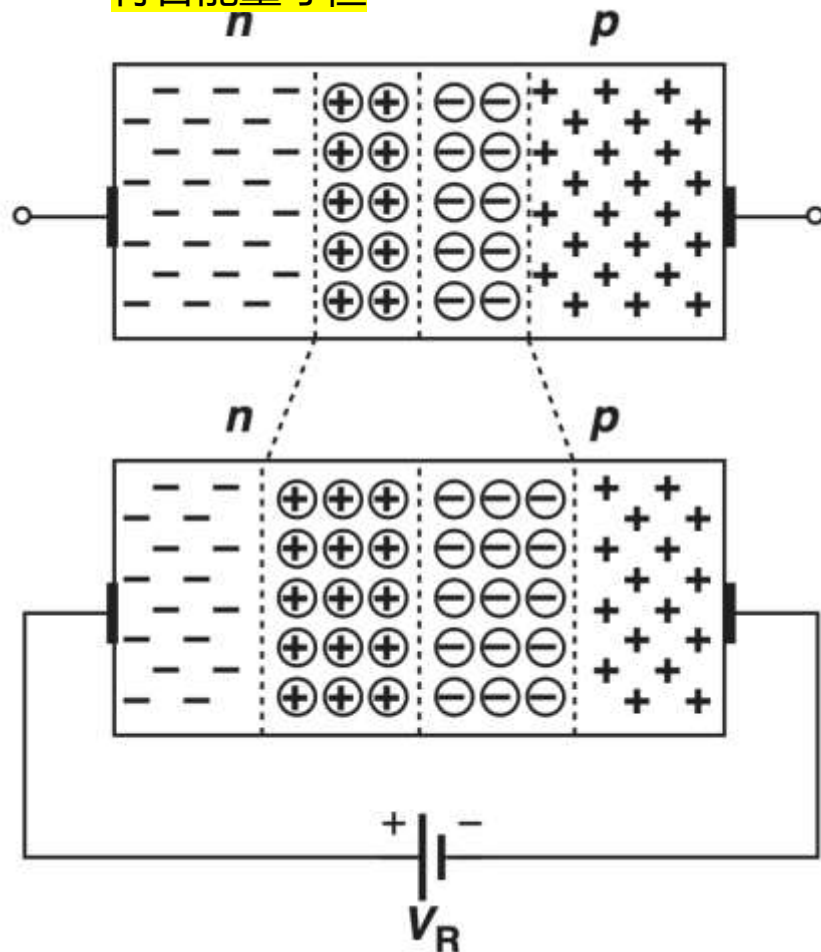
反向偏置

偏置 (Bias) , 可以是动词, 也可以是名词,
indicates operation under some “desirable” conditions

- 外加电源的“+”施加在n区域
- 相当于“**增强了**”内建电势 → 暴露出更多的固定离子 → 耗尽区变宽
- **扩散电流**, 因势垒 (n侧与p侧的电势差) 增加, 更难扩散 → 扩散电流**减小**
- **漂移电流**, 因n侧与p侧的少子浓度 p_n , n_p 不变 → 漂移电流**不变**【因为少子浓度很小, 所以漂移电流**很小**】
- 总电流值很小, 从n侧到p侧

最后表现出的特性, 就是元件里面有内建电势差。但其不是恒电源。

元件不会对外输出电压, 要符合能量守恒



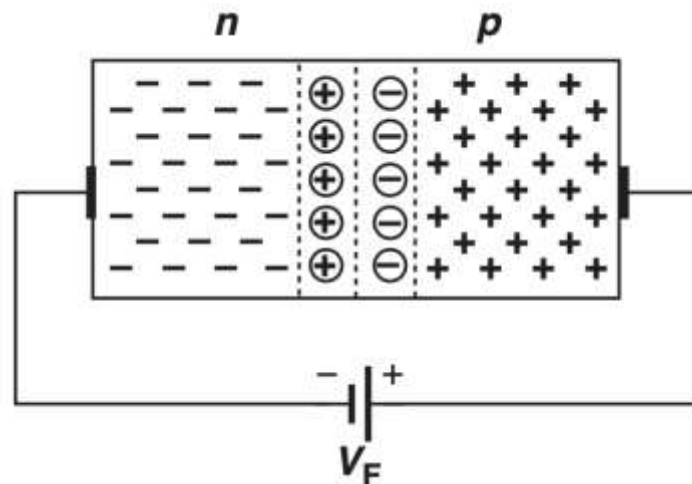
即使加了电压, 也不会有电流通过回路。但相当于把内建电势增强, 扩散更难, 电流

正向偏置

相当于减小耗尽区。但扩散更加容易（要克服的势垒减小），所以扩散电流增加，但漂移电流同上，不变

漂移电流都很小，因为少子浓度很小

- 外加电源的“+”施加在p区域
- 相当于“削弱了”内建电势 → 暴露出更少的固定离子 → 耗尽区变窄
- 扩散电流，因势垒（n侧与p侧的电势差）减小，更容易扩散 → 扩散电流增加
- 漂移电流，因n侧与p侧的少子浓度 p_n, n_p 不变 → 漂移电流不变【因为少子浓度很小，所以漂移电流很小】
- 总电流为正，从p侧到n侧



电流方向定义为p到n

扩散电流 I_D 变化 漂移电流 I_S 不变

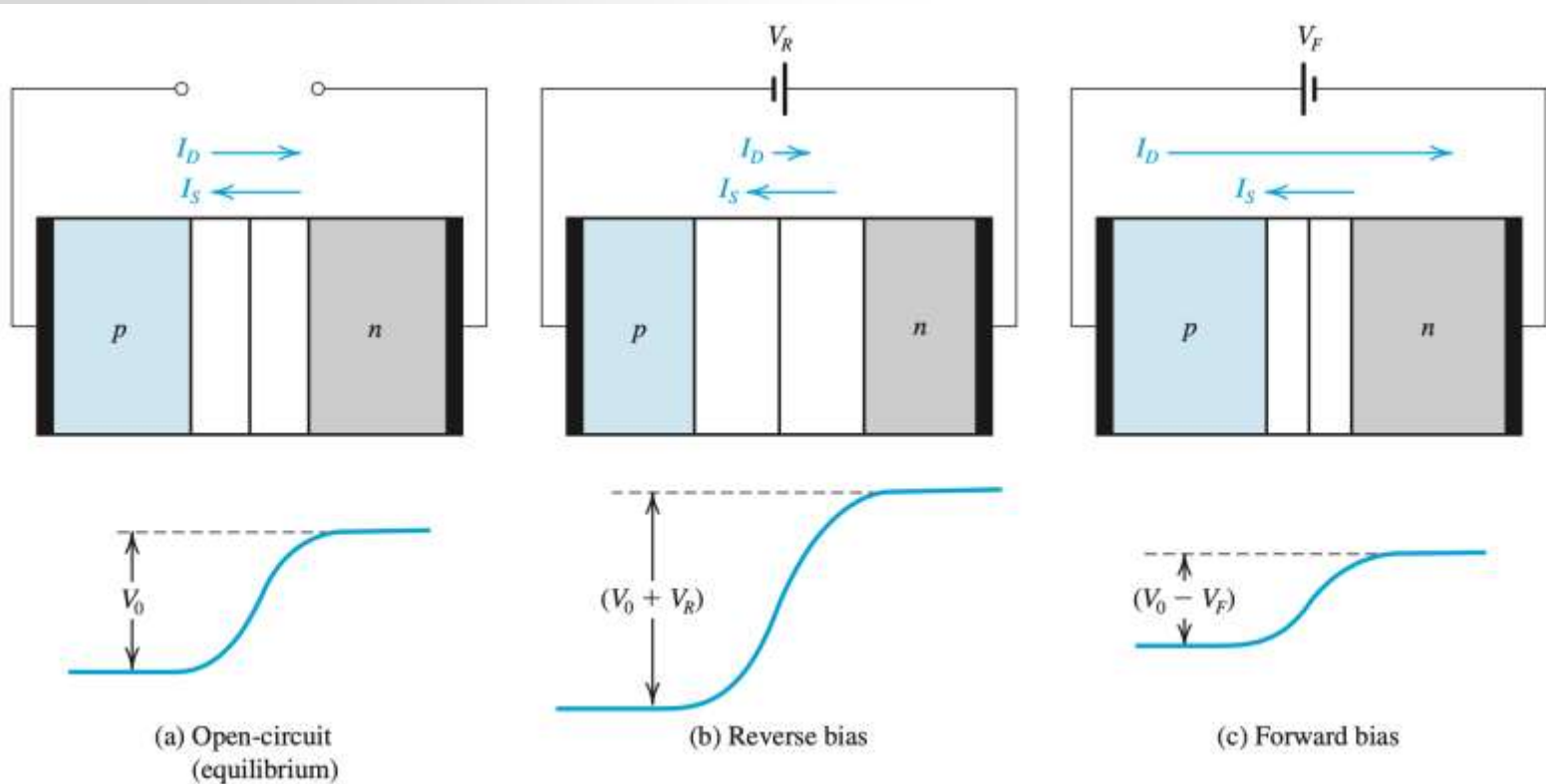
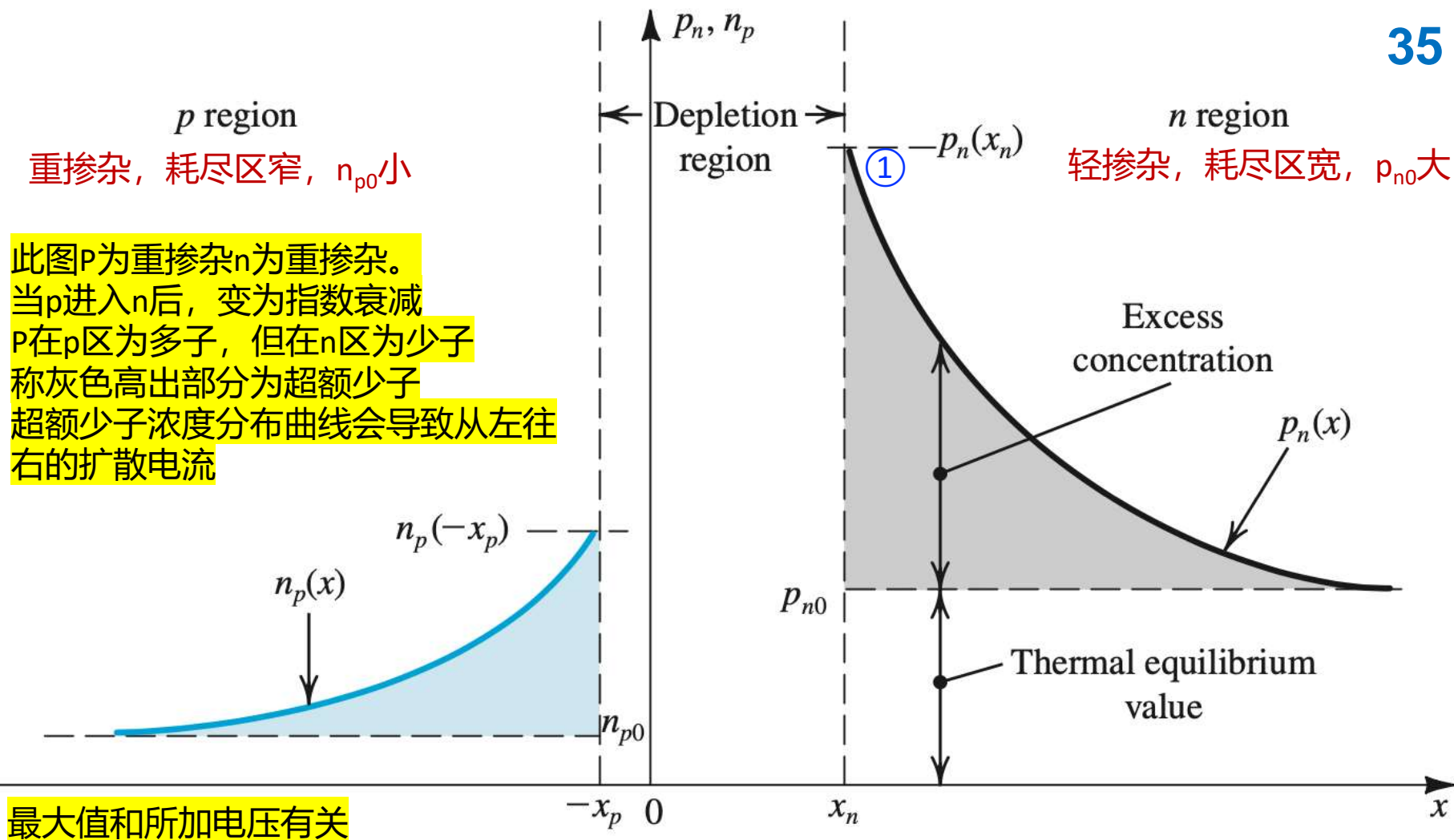


Figure 3.11 The pn junction in: (a) equilibrium; (b) reverse bias; (c) forward bias.

p到n电流为0

电压为负时，电流为 $-I_S$

电压为正时，电流迅速增加为指数增长



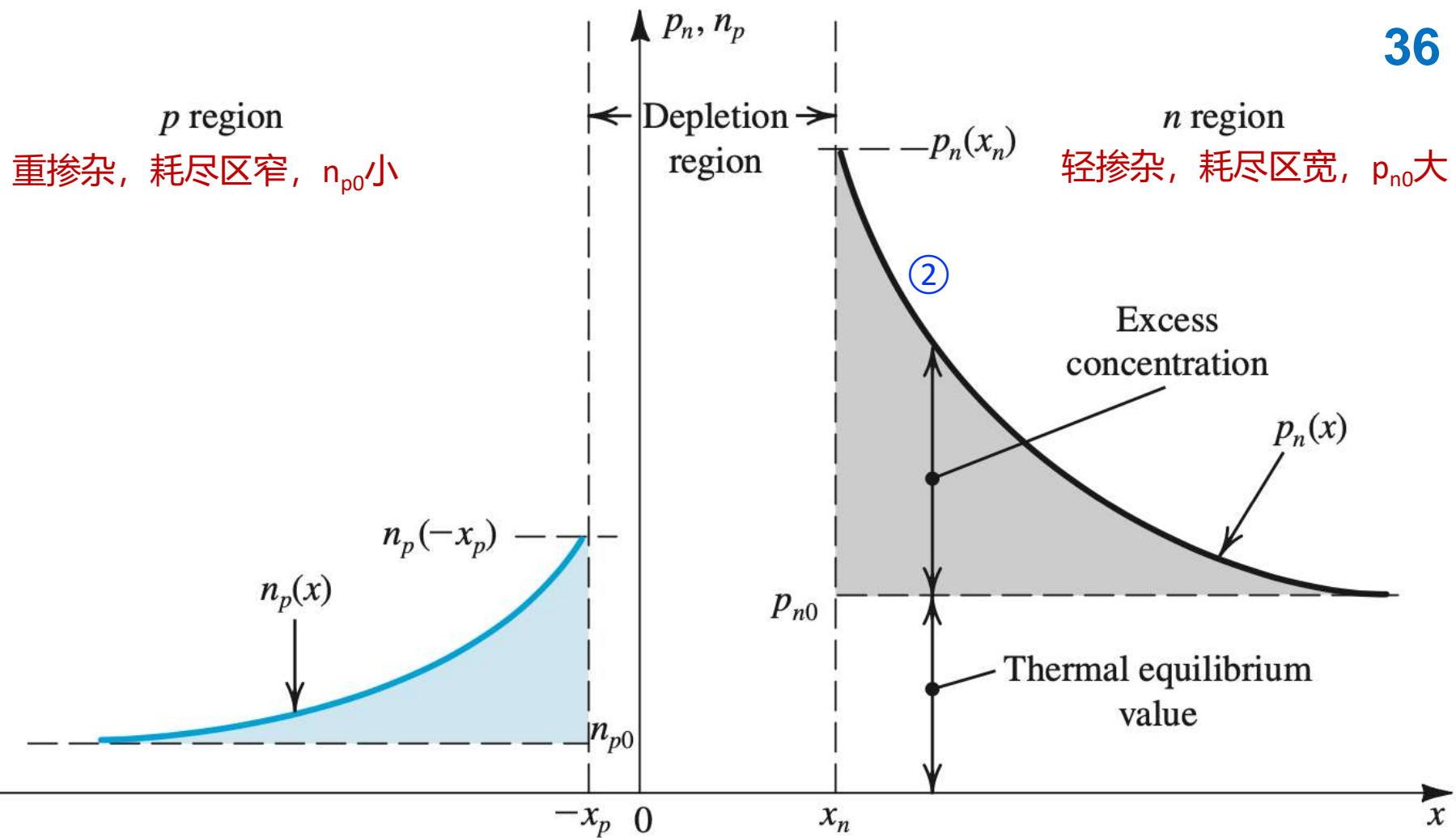


Figure 3.12 Minority-carrier distribution in a forward-biased pn junction. It is assumed that the p region is more heavily doped than the n region; $N_A \gg N_D$.

② 超额少子在n区与电子复合, 浓度呈指数衰减

$$\begin{aligned} \text{Excess concentration} &= p_{n0} e^{V/V_T} - p_{n0} \\ (\text{at } x=x_n) &= p_{n0} (e^{V/V_T} - 1) \end{aligned}$$

$$p_n(x) = p_{n0} + (\text{Excess concentration}) e^{-(x-x_n)/L_p}$$

$$p_n(x) = p_{n0} + p_{n0} (e^{V/V_T} - 1) e^{-(x-x_n)/L_p}$$

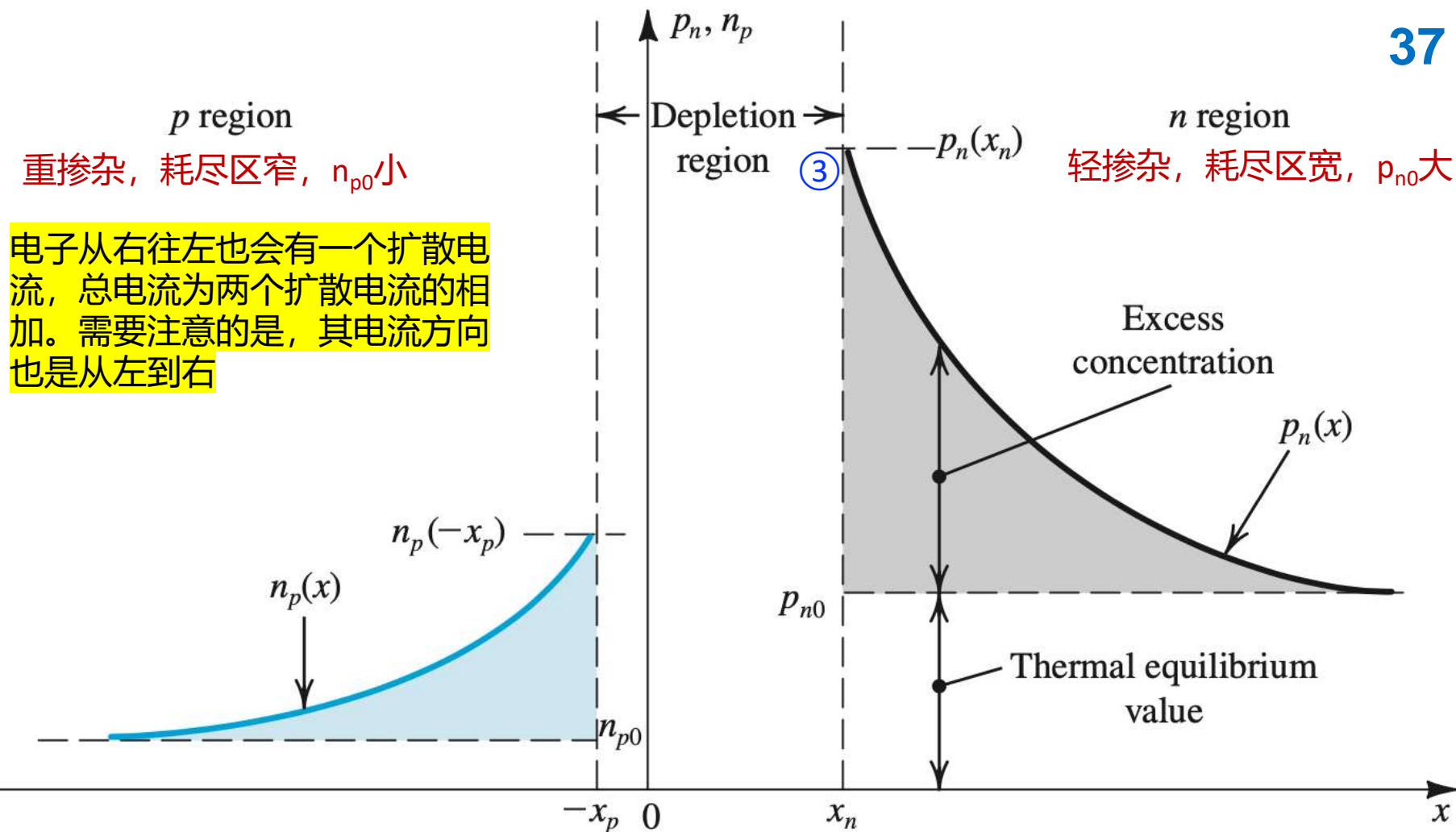


Figure 3.12 Minority-carrier distribution in a forward-biased pn junction. It is assumed that the p region is more heavily doped than the n region; $N_A \gg N_D$.

③ 超额少子在 n 区的浓度分布存在梯度 \rightarrow 扩散电流

x_n 处的扩散电流:

$$J_p(x) = -qD_p \frac{dp_n(x)}{dx} \Rightarrow J_p(x) = q \left(\frac{D_p}{L_p} \right) p_{n0} (e^{V/V_T} - 1) e^{-(x-x_n)/L_p} \Rightarrow J_p(x_n) = q \left(\frac{D_p}{L_p} \right) p_{n0} (e^{V/V_T} - 1)$$

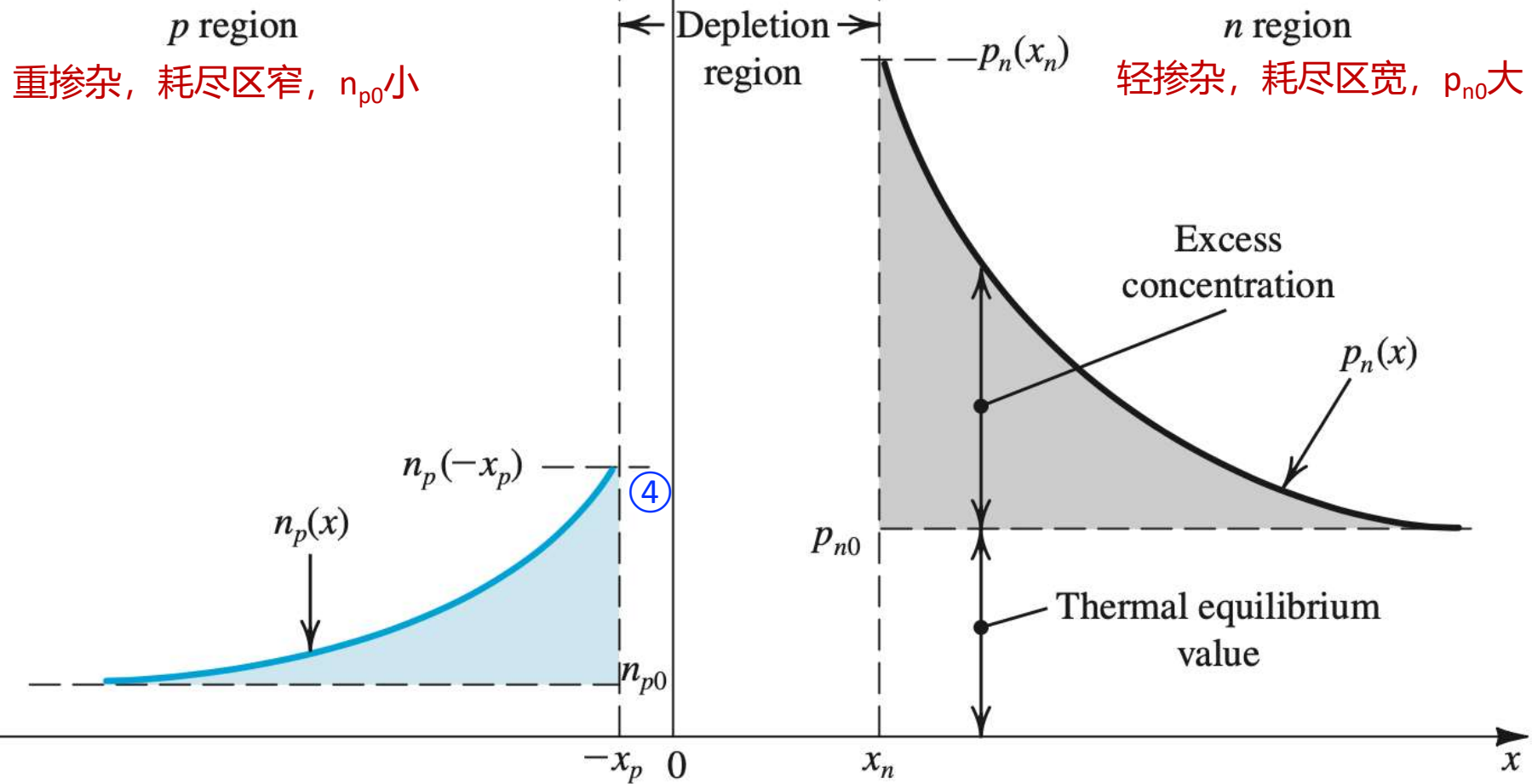


Figure 3.12 Minority-carrier distribution in a forward-biased pn junction. It is assumed that the p region is more heavily doped than the n region; $N_A \gg N_D$.

④同理, 可计算 $-x_p$ 处的扩散电流。耗尽区内部电流不变化, 所以可以得到总电流:

$$J_n(-x_p) = q \left(\frac{D_n}{L_n} \right) n_{p0} (e^{V/V_T} - 1)$$

$$I = A(J_p + J_n) \Rightarrow I = Aq \left(\frac{D_p}{L_p} p_{n0} + \frac{D_n}{L_n} n_{p0} \right) (e^{V/V_T} - 1)$$

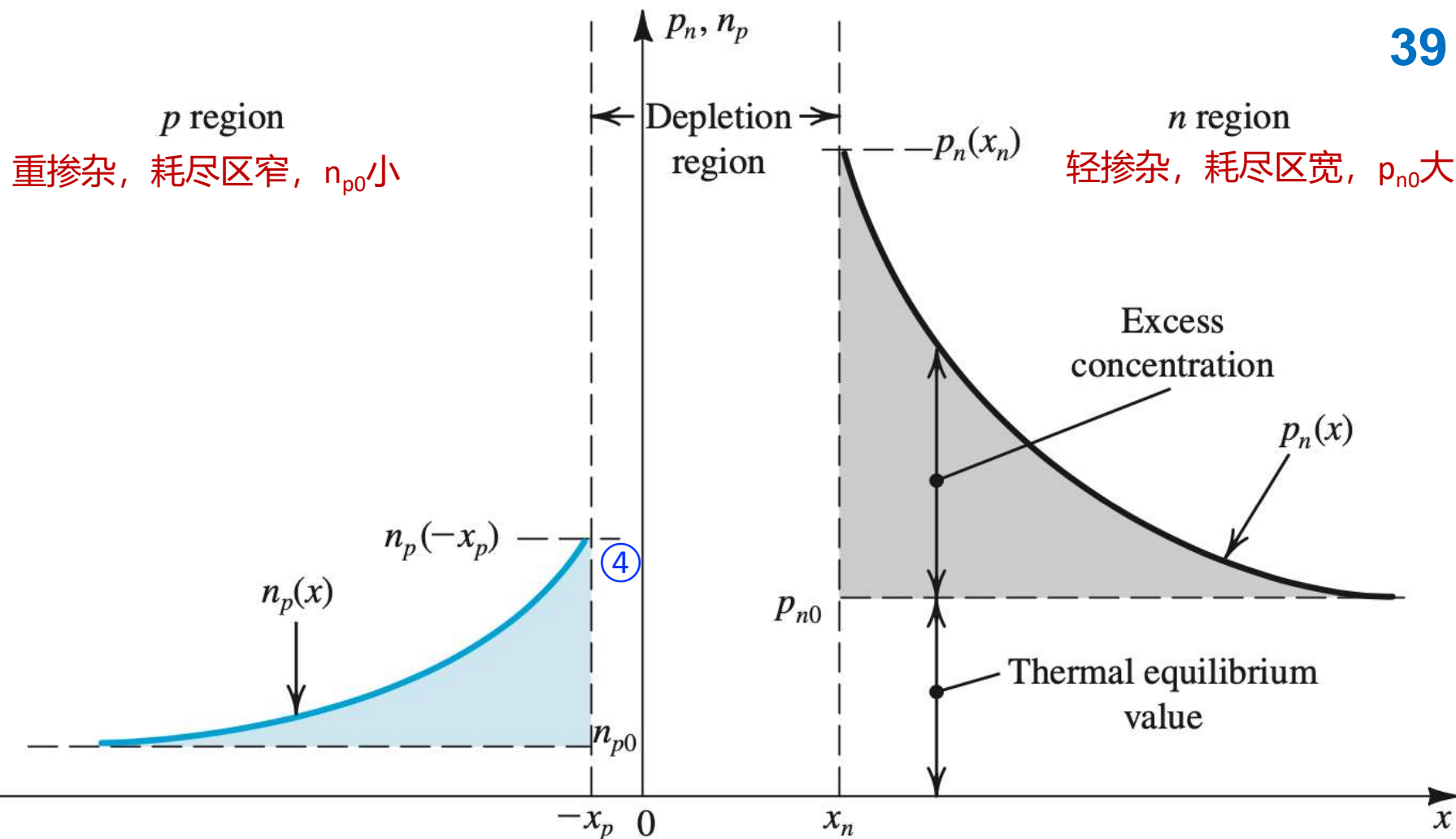
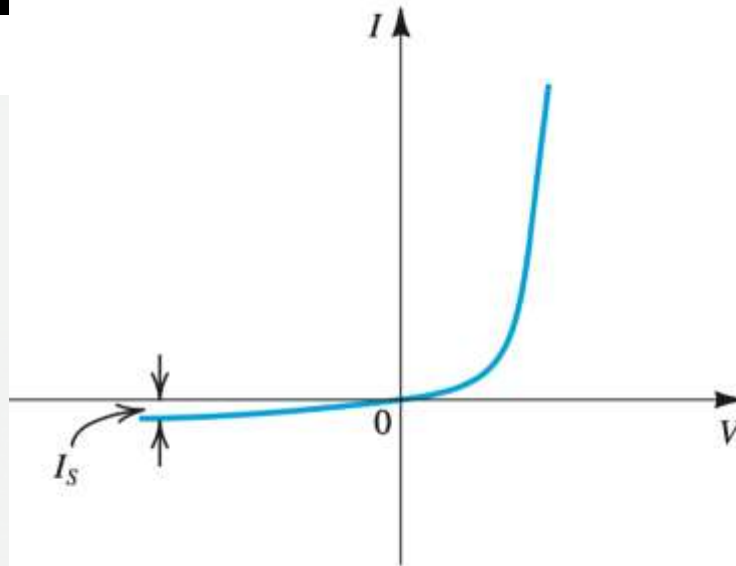


Figure 3.12 Minority-carrier distribution in a forward-biased pn junction. It is assumed that the p region is more heavily doped than the n region; $N_A \gg N_D$.

④ I_s 称为饱和电流, 也称 scale current, 因其随面积按比例缩放; I_s 受温度影响严重 (与 n_i^2 相关)

$$I = I_s (e^{V/V_T} - 1)$$

$$I_s = Aq n_i^2 \left(\frac{D_p}{L_p N_D} + \frac{D_n}{L_n N_A} \right)$$



I_s 为最大电流，即饱和电流

$$I = I_s(e^{V/V_T} - 1)$$

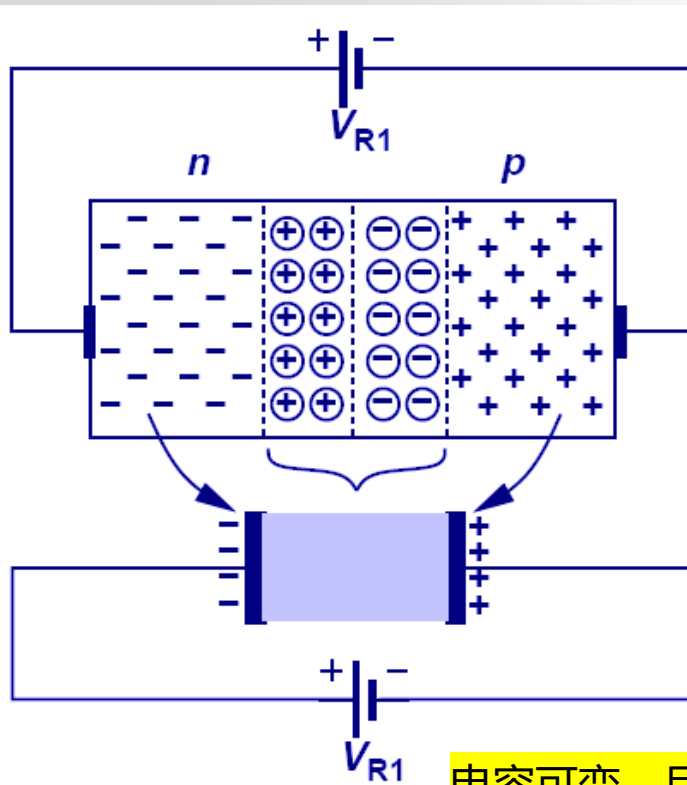
当 V 远远大于26mV时，就可以把1舍去

Figure 3.13 The *pn* junction I - V characteristic.

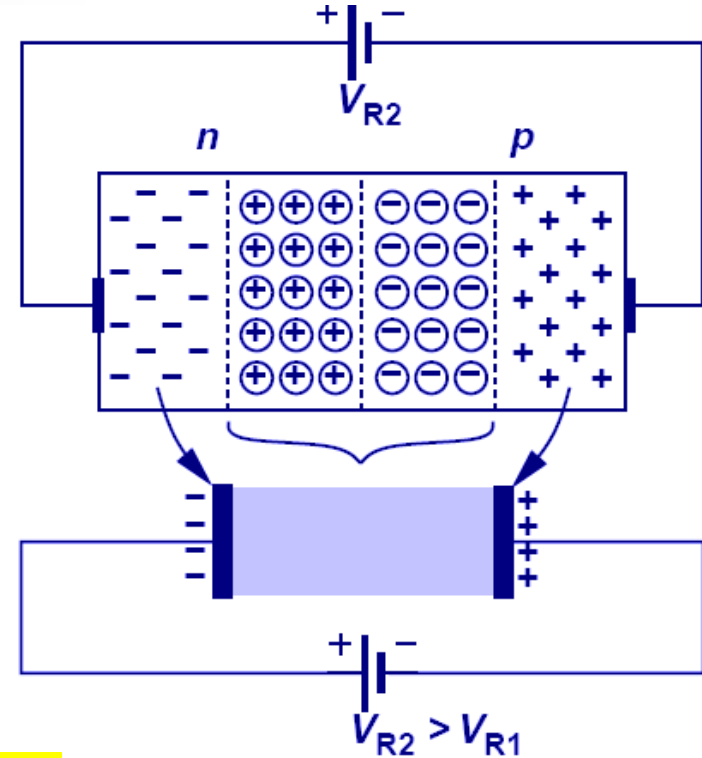
表达式符合正部分，但认为可以符合正负无穷部分

二极管在正偏反偏时有一个电容效应

电容效应1：反向偏置—可变结电容



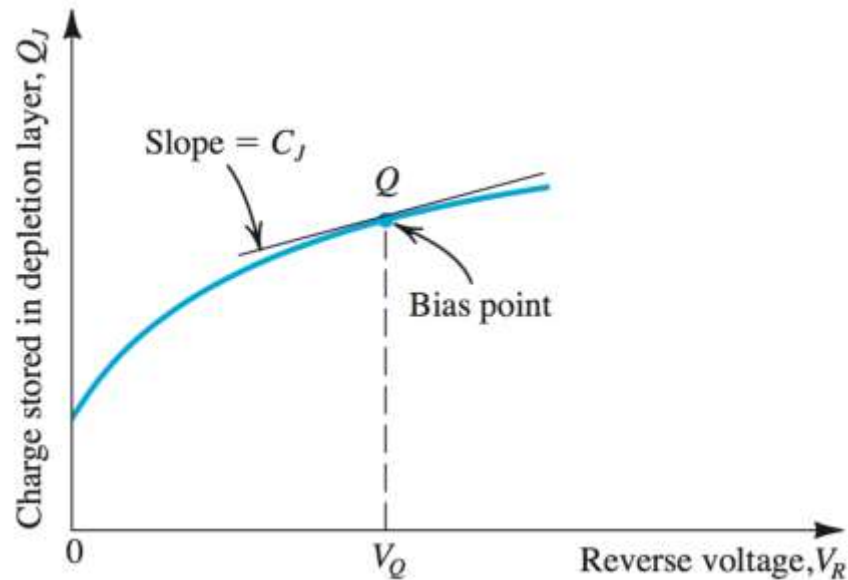
(a)



(b)

- The PN junction can be viewed as a **capacitor**. By varying V_R , the depletion width changes, changing its capacitance value; therefore, the PN junction is actually a **voltage-dependent capacitor**. 反向电压增加, 耗尽区变宽, 电容减小

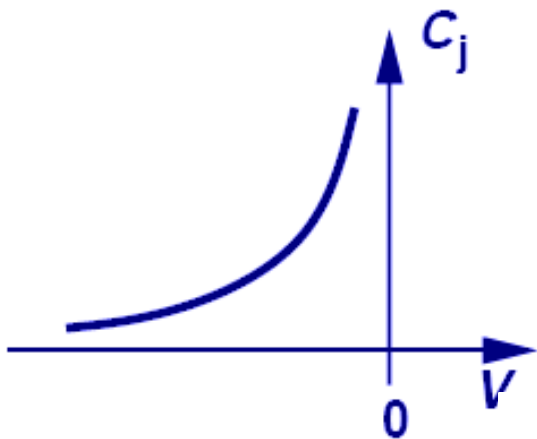
结电容：耗尽区固定 离子引起的



$$Q_J = A \sqrt{2\epsilon_s q \frac{N_A N_D}{N_A + N_D} (V_0 + V_R)}$$

$$C_J = \left. \frac{dQ_J}{dV_R} \right|_{V_R=V_Q}$$

Voltage-Dependent Capacitance



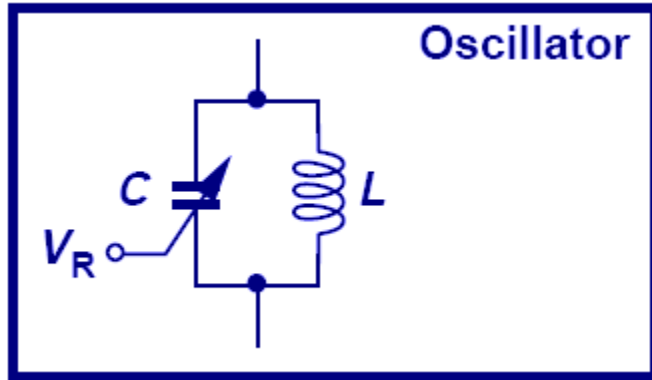
$$C_j = \frac{C_{j0}}{\sqrt{1 + \frac{V_R}{V_0}}}$$

$$C_{j0} = \sqrt{\frac{\epsilon_{si} q}{2} \frac{N_A N_D}{N_A + N_D} \frac{1}{V_0}}$$

- 外加电压变化 \rightarrow 耗尽区宽度变化 \rightarrow 耗尽区内储存的电荷变化 \rightarrow 等效电容值变化；反向偏置时，可实现可变电容（**变容二极管，Varactor**）

Voltage-Controlled Oscillator

压控振荡器



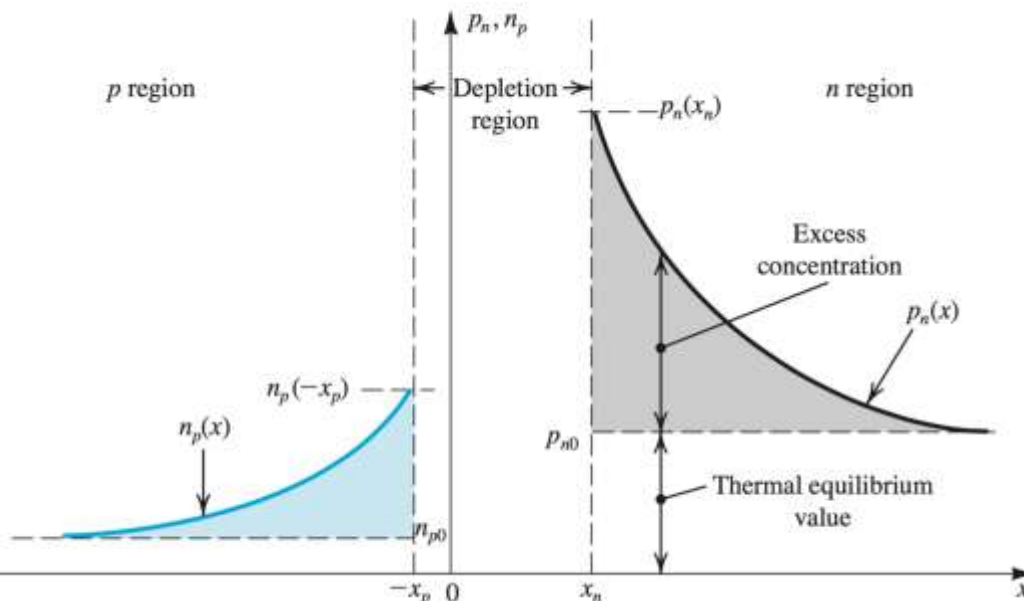
$$f_{res} = \frac{1}{2\pi} \frac{1}{\sqrt{LC}}$$

电压调节电容，从而改变谐振频率

- A very important application of a reverse-biased PN junction is VCO, in which an LC tank is used in an oscillator. By changing V_R , we can change C , which also changes the oscillation frequency.

电容效应2：正向偏置--扩散电容

- **正向偏压**时，大量电流可以流过结，因此也代表中性区有大量的移动载流子。这些随着偏压增加的移动载流子增量会贡献出额外的一项电容，称为**扩散电容**（反偏时为耗尽区固定离子电荷引起的结电容）
- **正向偏压增加**→超量少子的浓度和梯度都增加→正向电流增加、存储电荷增加→等效的**扩散电容增加**；



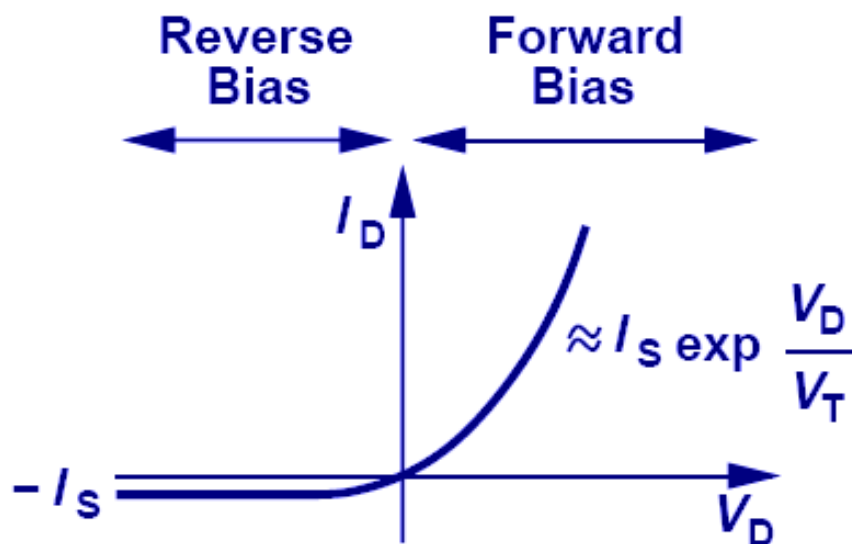
$$Q_p = Aq \times \text{shaded area under the } p_n(x) \text{ curve}$$

$$= Aq[p_n(x_n) - p_{n0}]L_p$$

$$C_d = \frac{dQ}{dV}$$

正向偏置时同样为电容，是由扩散引起的。反向是耗尽区展宽引起。

PN结的I/V特性（伏安特性）

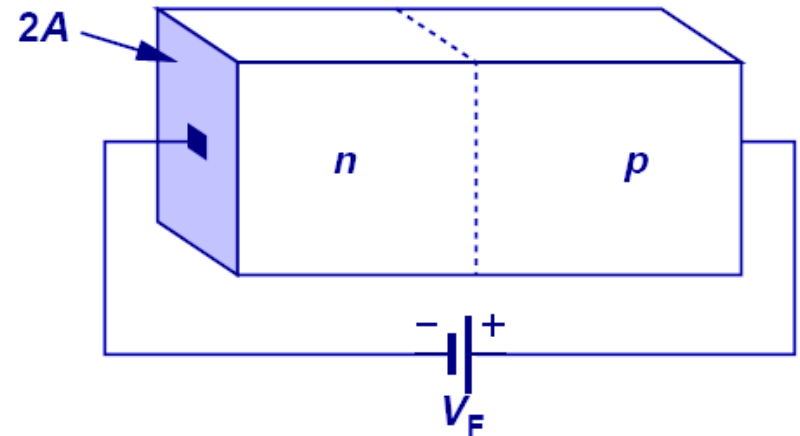
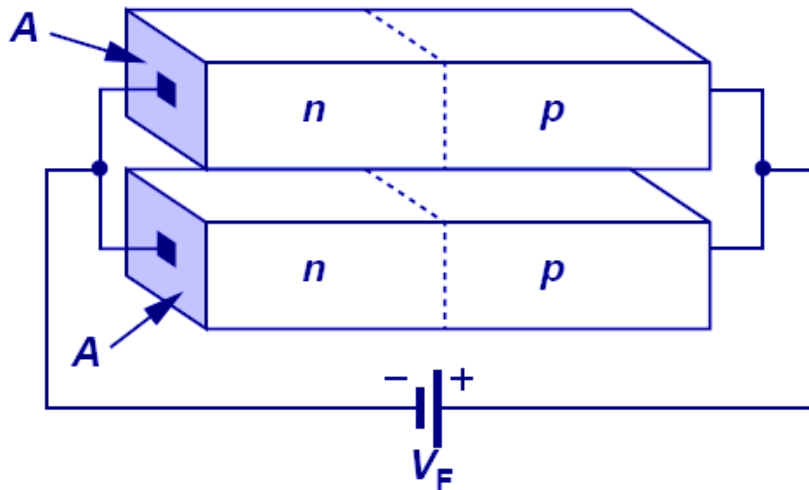


$$I = I_S (e^{V/V_T} - 1)$$

- 正向、反向都可以用统一的公式表达
 - 正向特性：指数关系；反向特性：恒定电流
 - 室温下 $V_T = 26 \text{ mV}$

Parallel PN Junctions

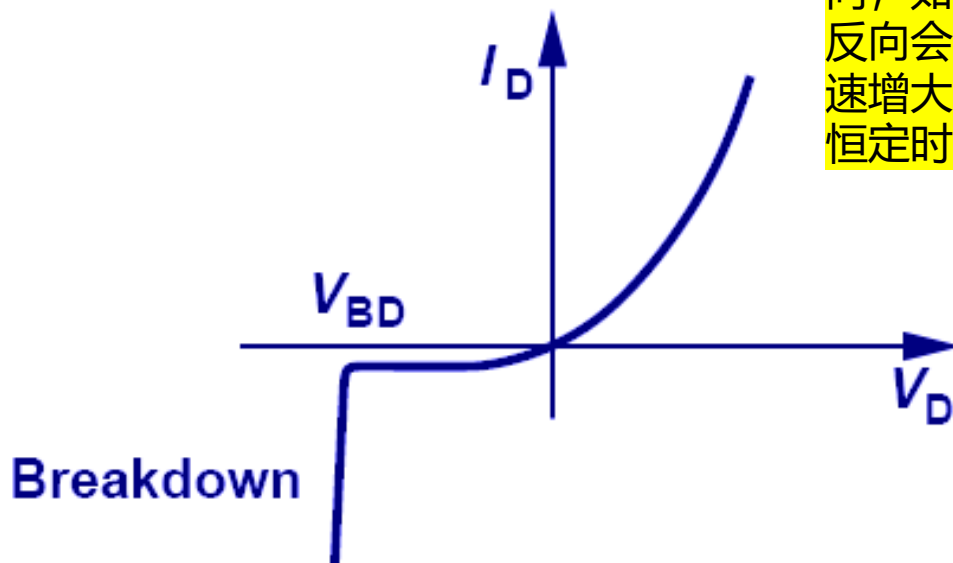
如果两个PN结并联，相当于增加面积， V_t 不变， I_s 和面积成正比（根据前面公式），所以变大



- Since junction currents are proportional to the junction's cross-section area. Two PN junctions put in parallel are effectively one PN junction with twice the cross-section area, and hence twice the current.

反向击穿区

其实到不了正无穷大，负无穷大。正向，如果D很大，会导致饱和和烧坏。反向会击穿，电压基本不变，电流迅速增大。一般认为击穿可逆。在电压恒定时进行应用

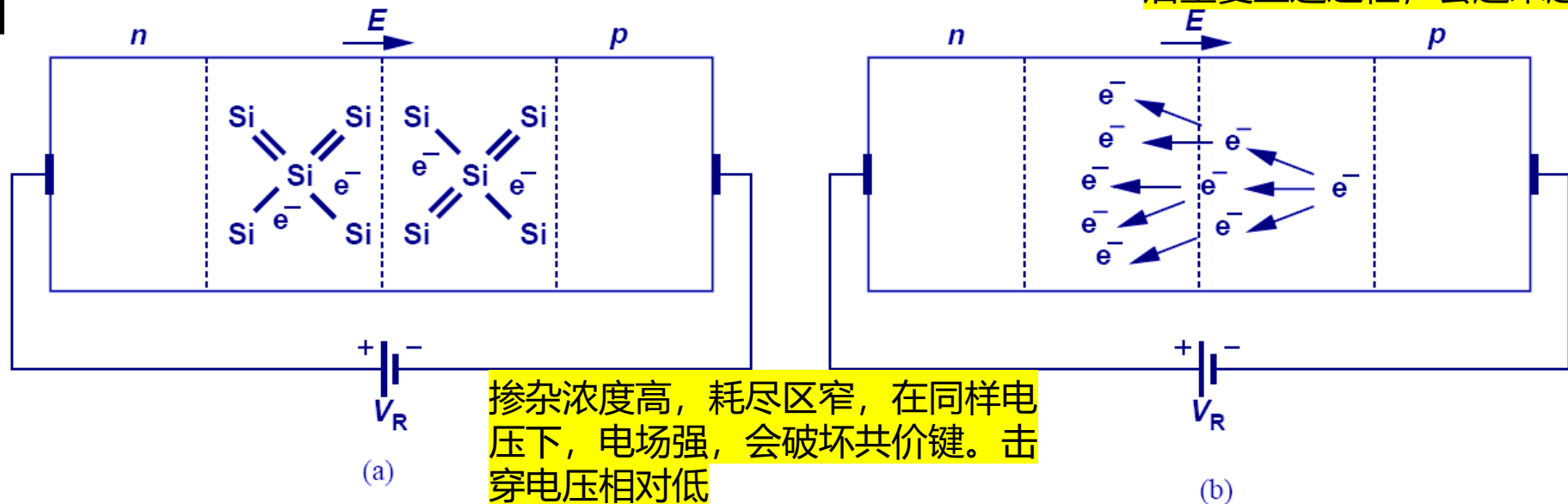


- 当反向电压过大时，会发生击穿；
 - 击穿特性：电压恒定

反向击穿两种机理：齐纳（Zener）击穿 vs. 雪崩（Avalanche）击穿

雪崩：

举例，一个电子在电场下运动，量足够大时若碰到别的原子，后重复上述过程，会越来越多



掺杂浓度高，耗尽区窄，在同样电压下，电场强，会破坏共价键。击穿电压相对低

(b)

- **Zener breakdown**, 高掺杂情况下，耗尽区窄 \rightarrow 电场强，直接破坏共价键，产生电子空穴对；齐纳击穿电压较低 ($< 5V$)
- **Avalanche breakdown**, 低掺杂浓度，耗尽区较宽，当反向电压较高时，高能电子轰击耗尽区内中性原子，产生电离、雪崩；雪崩击穿电压较高 ($> 7V$)

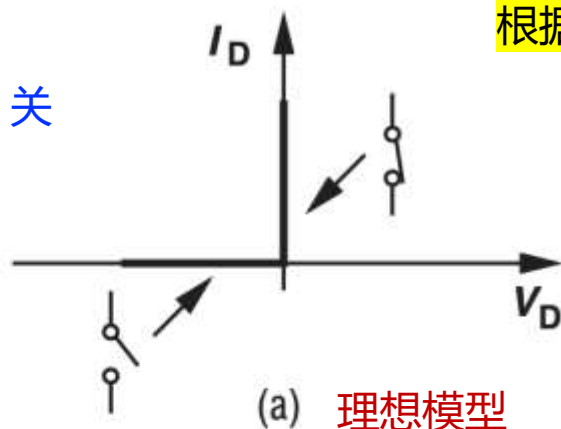
耗尽区宽。雪崩概率大（因为。不过雪崩电压比较高才击穿

二极管的电路模型

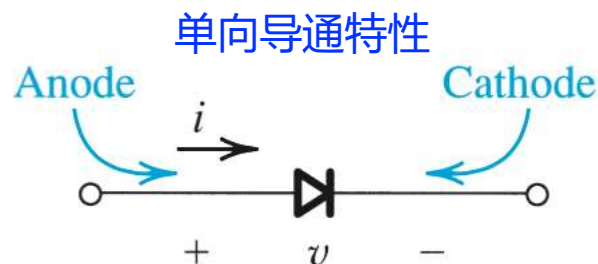
PN结，构成最基本的半导体器件：二极管

两个状态：开、关

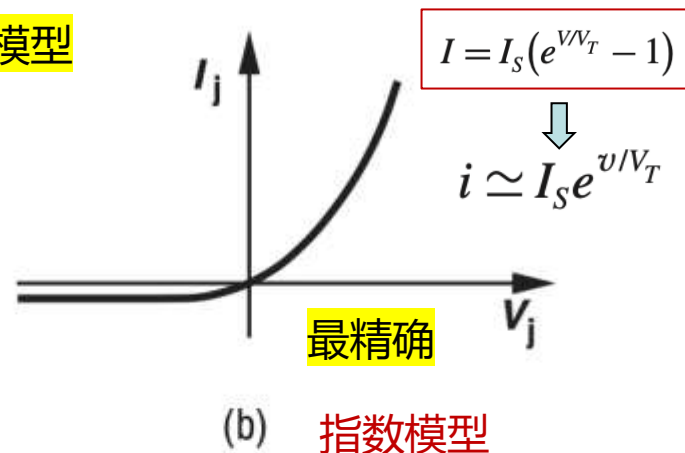
最简单，适用
简单判断



电压为正短路导通，电压小于0断路，所以
模型为开关，曲线被近似



电路符号

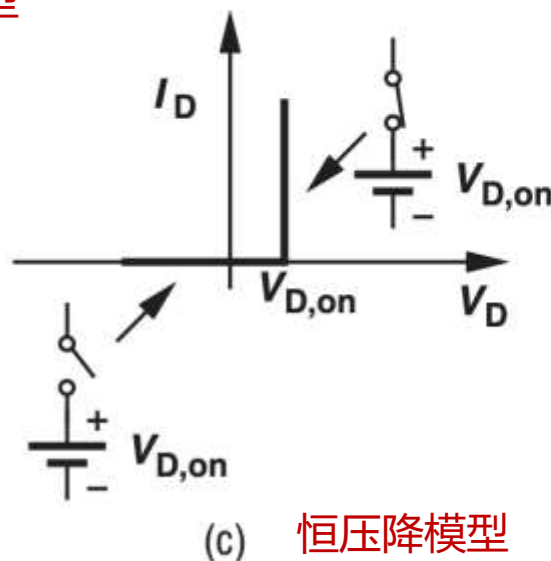


$$I = I_s(e^{v/V_T} - 1)$$

$$i \simeq I_s e^{v/V_T}$$

最精确

去掉1



两个模型综合后为恒压
降模型，开关加 $V_{D, on}$

Figure 3.13 Diode characteristics: (a) ideal model, (b) exponential model, (c) constant-voltage model.

小结

二极管电流电压关系, 单向导通性, 去1的指数曲线

分析电路时, 首先判断二极管是on还是off。
若电路复杂, 则先假设, 后验证是否正确。
若假设on, 看开关流过电流的方向, 如果是从正到负, 则可能正确, 负到正, 则假设错误
若假设为off, 若有电压为正向, 则假设错误

- 本征半导体中, 电子、空穴的浓度: $n = p = n_i$ $n_i = BT^{3/2} e^{-E_g/2kT}$

- $n=p$

- 与温度相关, 300 K 时, $\approx 1.5 \times 10^{10} \text{ carriers/cm}^3$

- 掺杂半导体

- 恒等式 $pn = n_i^2$

- n型, $n=N_D$, 再根据恒等式求p $n_n \simeq N_D$ $p_n \simeq \frac{n_i^2}{N_D}$

- p型, $p=N_A$, 再根据恒等式求n $p_p \simeq N_A$ $n_p \simeq \frac{n_i^2}{N_A}$

- 载流子运动——漂移 (电场引起)

$$v_{p\text{-drift}} = \mu_p E$$

$$v_{n\text{-drift}} = -\mu_n E$$

$$J = J_p + J_n = q(p\mu_p + n\mu_n)E$$

- 掺杂半导体的电导率 $\sigma = q(p\mu_p + n\mu_n)$

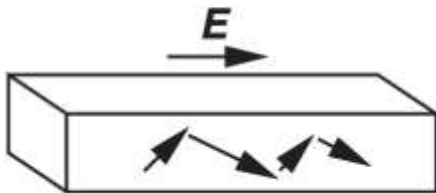
小结

- 载流子运动——扩散（浓度梯度引起）

$$J_n = qD_n \frac{dn}{dx} \quad J_p = -qD_p \frac{dp}{dx} \quad J_{tot} = q \left(D_n \frac{dn}{dx} - D_p \frac{dp}{dx} \right)$$

Microelectronic Circuits

Drift Current



$$J_n = qn\mu_n E$$

$$J_p = qp\mu_p E$$

Diffusion Current



$$J_n = qD_n \frac{dn}{dx}$$

$$J_p = -qD_p \frac{dp}{dx}$$

- 爱因斯坦关系 $\frac{D_n}{\mu_n} = \frac{D_p}{\mu_p} = V_T = \frac{kT}{q} \approx 26 \text{ mV @ } 300\text{K}$

小结

■ PN结的三个工作状态

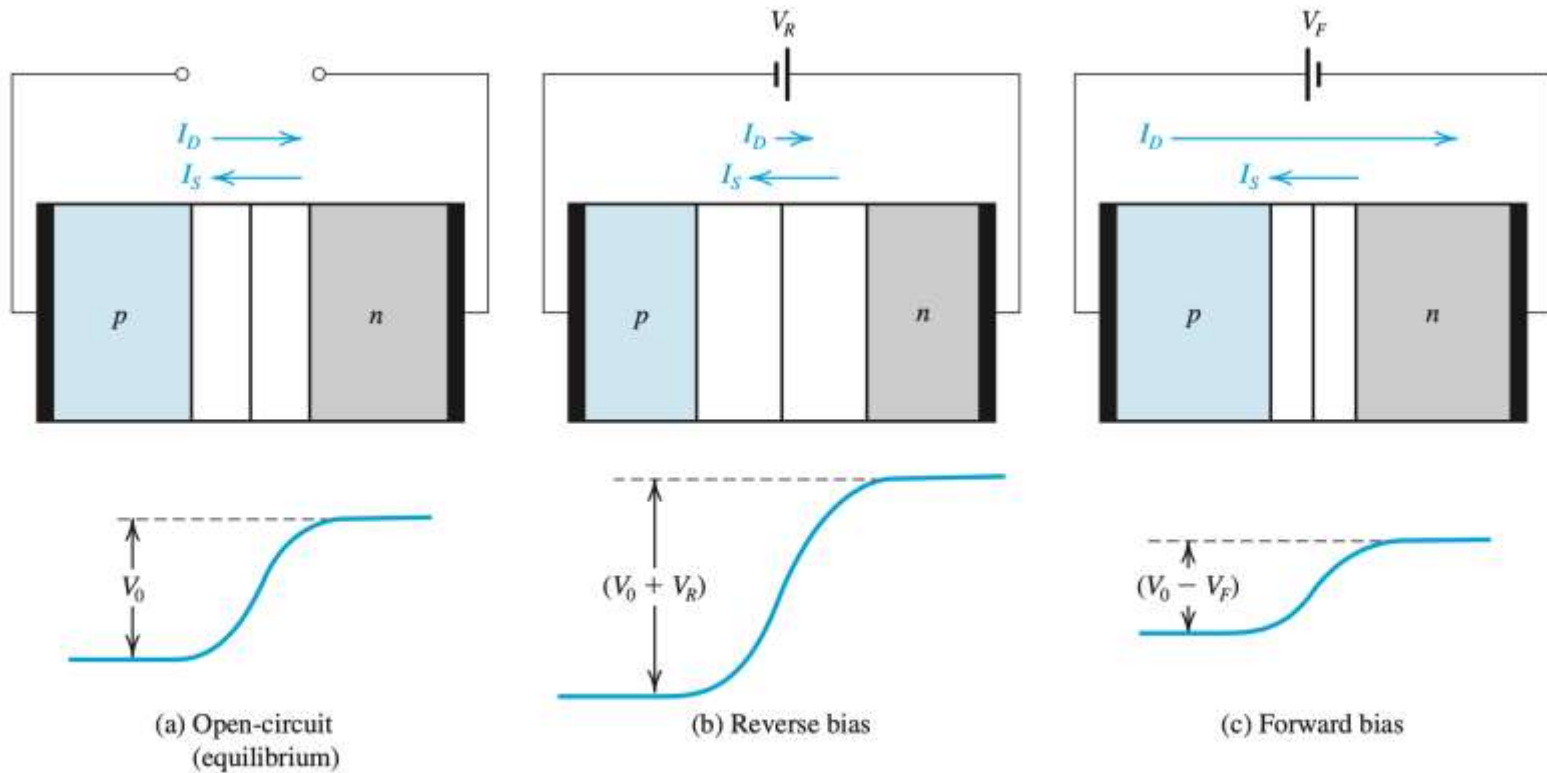
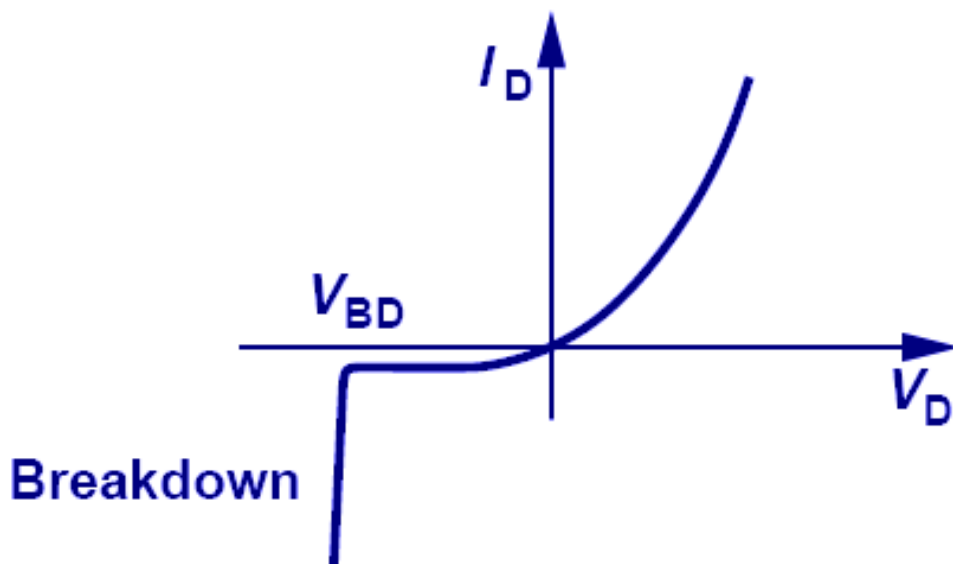


Figure 3.11 The *pn* junction in: (a) equilibrium; (b) reverse bias; (c) forward bias.

小结

■ PN结的I/V特性



$$I = I_s(e^{V/V_T} - 1)$$

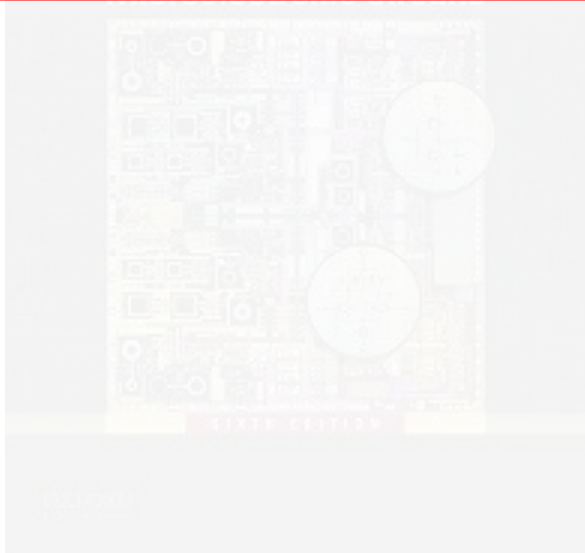
作业

3.1 Calculate the intrinsic carrier density n_i for silicon at $T = 50$ K and 350 K.

Ans. $9.6 \times 10^{-39}/\text{cm}^3$; $4.15 \times 10^{11}/\text{cm}^3$

$$n_i = BT^{3/2} e^{-E_g/2kT}$$

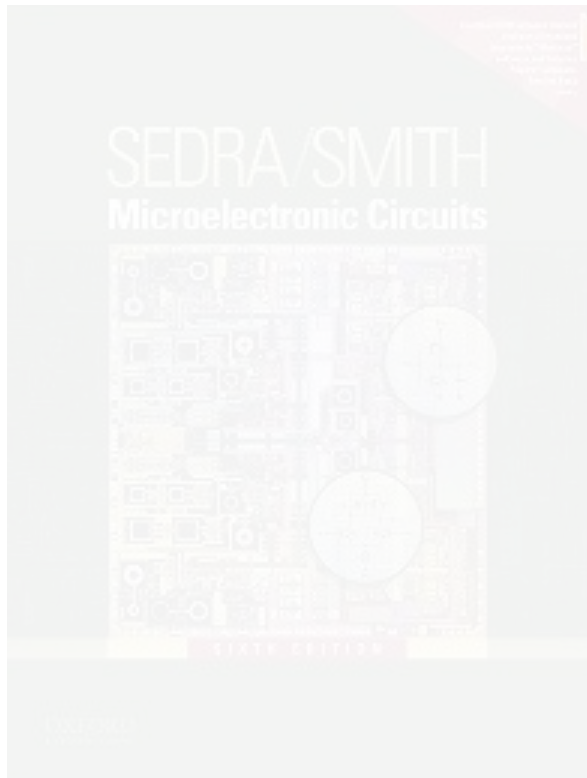
where B is a material-dependent parameter that is $7.3 \times 10^{15} \text{cm}^{-3} \text{K}^{-3/2}$ for silicon; T is the temperature in K ; E_g , a parameter known as the **bandgap energy**, is 1.12 electron volt (eV) for silicon²; and k is Boltzmann's constant (8.62×10^{-5} eV/K).



3.3 For a silicon crystal doped with boron, what must N_A be if at $T = 300$ K the electron concentration drops below the intrinsic level by a factor of 10^6 ?

Ans. $N_A = 1.5 \times 10^{16}/\text{cm}^3$

$$p_p \simeq N_A \quad p_p n_p = n_i^2 \quad n_i \simeq 1.5 \times 10^{10}/\text{cm}^3$$

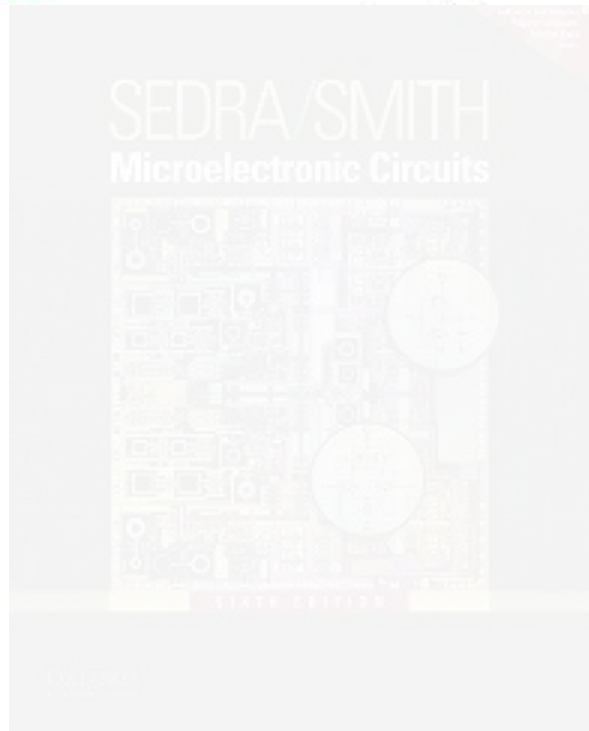


$$v_{n\text{-drift}} = -\mu_n E$$

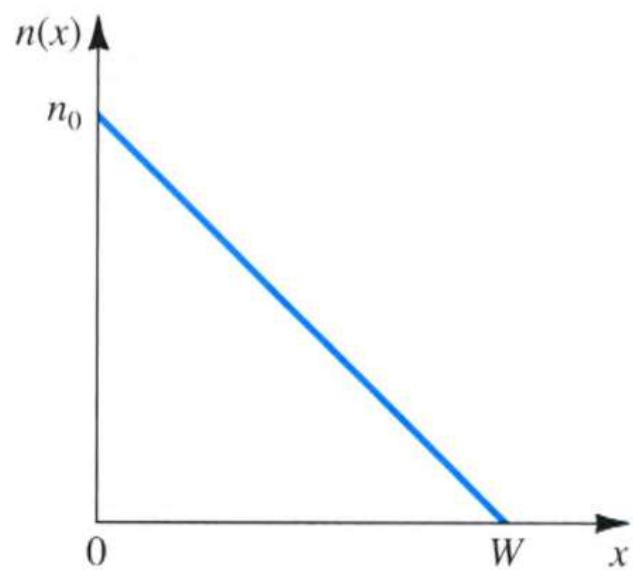
$$J = J_p + J_n = q(p\mu_p + n\mu_n)E$$

3.4 A uniform bar of n -type silicon of 2 μm length has a voltage of 1 V applied across it. If $N_D = 10^{16}/\text{cm}^3$ and $\mu_n = 1350 \text{ cm}^2/\text{V} \cdot \text{s}$, find (a) the electron drift velocity, (b) the time it takes an electron to cross the 2- μm length, (c) the drift-current density, and (d) the drift current in the case the silicon bar has a cross sectional area of 0.25 μm^2 .

Ans. $6.75 \times 10^6 \text{ cm/s}$; 30 ps; $1.08 \times 10^4 \text{ A/cm}^2$; 27 μA



- 3.5 The linear electron-concentration profile shown in Fig. E3.5 has been established in a piece of silicon. If $n_0 = 10^{17}/\text{cm}^3$ and $W = 0.5\ \mu\text{m}$, find the electron-current density in microamperes per micron squared ($\mu\text{A}/\mu\text{m}^2$). If a diffusion current of 1 mA is required, what must the cross-sectional area (in a direction perpendicular to the page) be? Recall that $D_n = 35\ \text{cm}^2/\text{s}$.



$$J_{tot} = q \left(D_n \frac{dn}{dx} - D_p \frac{dp}{dx} \right)$$

Figure E3.5

Ans. $112\ \mu\text{A}/\mu\text{m}^2$; $9\ \mu\text{m}^2$



A diode operates in the forward bias region with a typical current level [i.e., $I_D \approx I_S \exp(V_D/V_T)$]. Suppose we wish to increase the current by a factor of 10. How much change in V_D is required?

Ans. V_D changes by 60 mV for a decade (tenfold) change in I_D

